

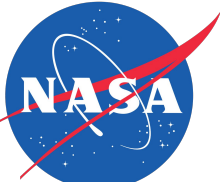


Workshop: Synthetic Aperture Radar (SAR) & Google Earth Engine

Source: ESA

Andrea Puzzi Nicolau

Amazonia Regional Science Associate
NASA SERVIR Science Coordination Office
Earth System Science Center
University of Alabama in Huntsville



USAID
FROM THE AMERICAN PEOPLE



Synthetic Aperture Radar (SAR)



Synthetic Aperture Radar (SAR)

Begin here



Radar → What's the acronym?



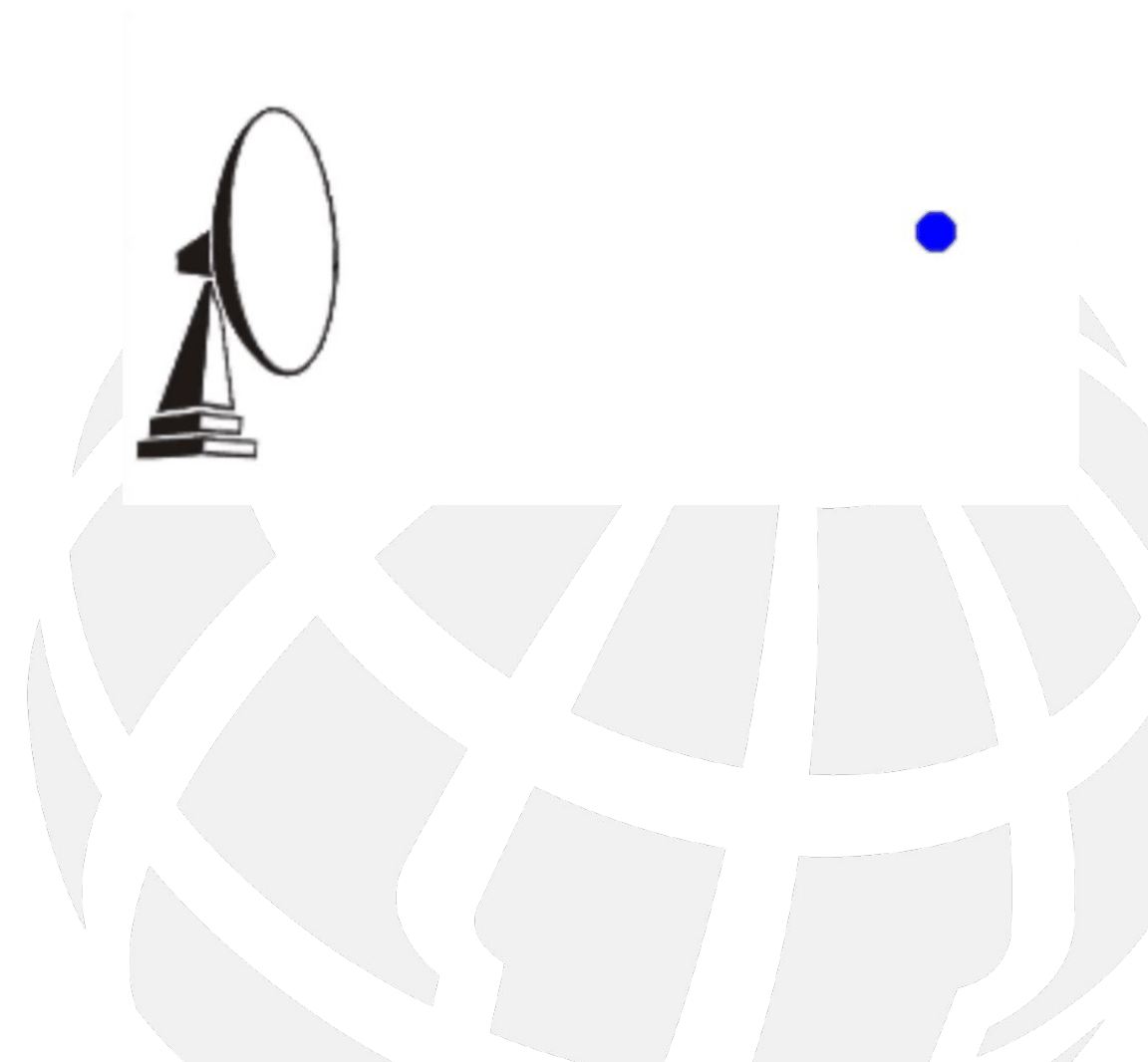
Radar → What's the acronym?

RAdio **D**etection **A**nd **R**anging



Radar → What's the acronym?

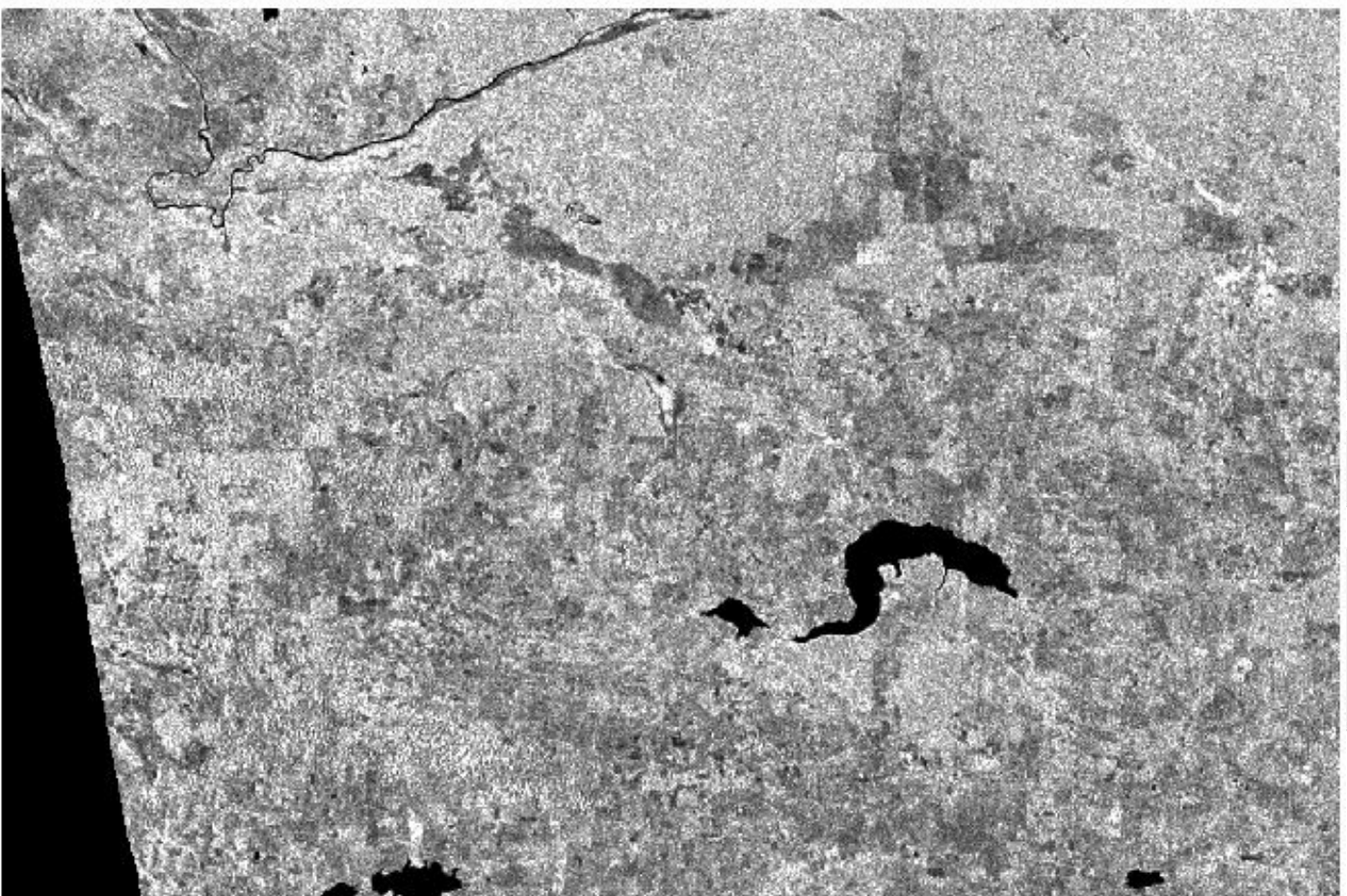
RAdio **D**etection **A**nd **R**anging



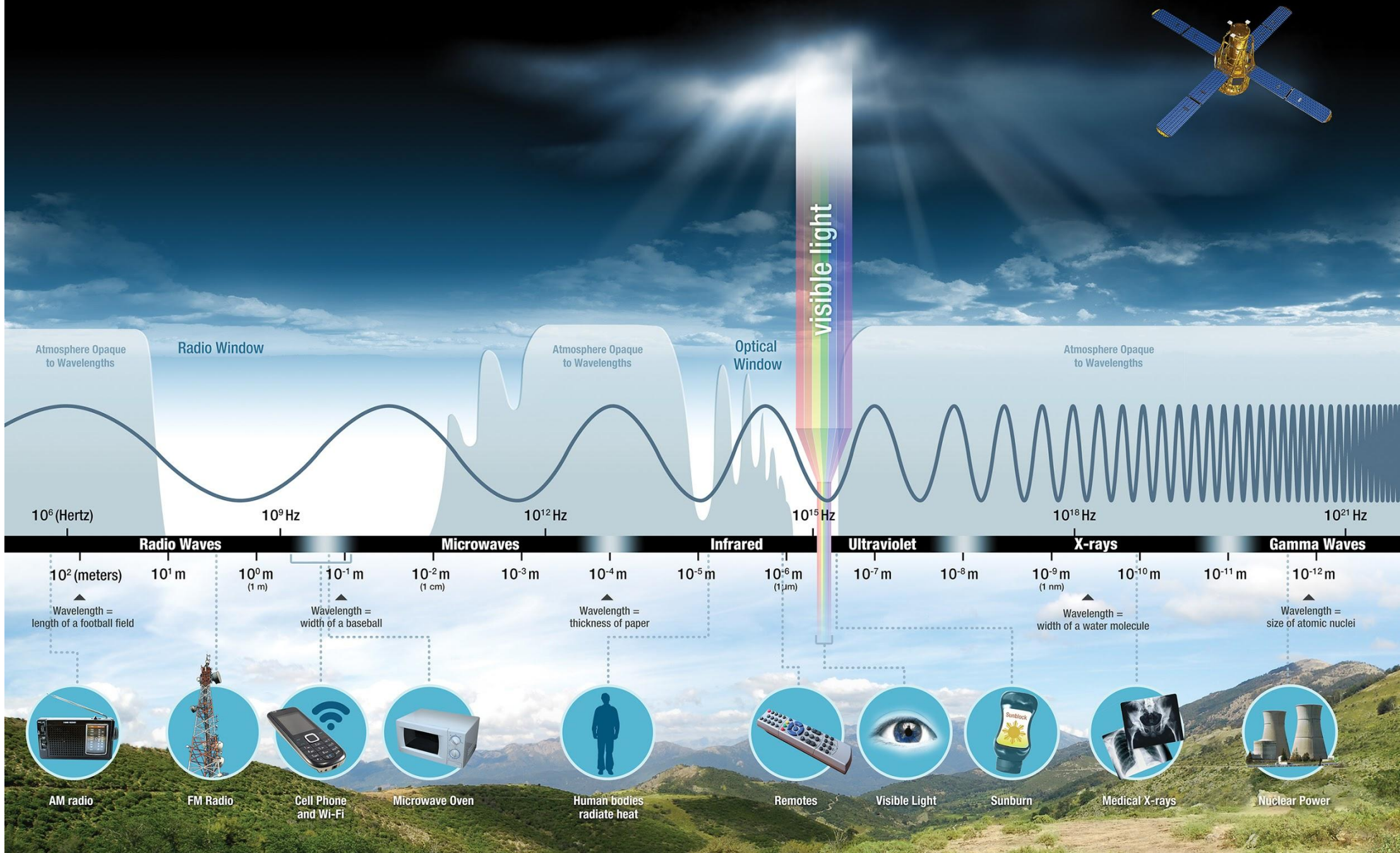
What does SAR see?

- Structure
- Moisture

2017-01-03



Electromagnetic Spectrum



Source: National Aeronautics and Space Administration, Science Mission Directorate. (2010). Introduction to the Electromagnetic Spectrum. Retrieved [insert date - e.g. August 10, 2016], from NASA Science website: http://science.nasa.gov/ems/01_intro

Radar Microwave Spectrum (approximately)

Band	Frequency		Wavelength	General Application
Ka	27 – 40	GHz	1.1 – 0.8 cm	Rarely used for SAR (airports surveillance)
K	18 – 27	GHz	1.7 – 1.1 cm	Rarely used for SAR (H_2O absorption)
Ku	12 – 18	GHz	2.4 – 1.7 cm	Rarely used for SAR (satellite altimetry)
X	8 – 12	GHz	3.8 – 2.4 cm	High-resolution SAR (urban monitoring; ice and snow; little penetration into vegetation cover; fast coherence decay in vegetated areas)
C	4 – 8	GHz	7.5 – 3.8 cm	SAR workhorse (global mapping; change detection; monitoring of areas with low to moderate vegetation; improved penetration; higher coherence); Ice, ocean, maritime navigation
S	2 – 4	GHz	15 – 7.5 cm	Little but increasing use for SAR-based Earth observation ; agriculture monitoring (NISAR will carry an S-band channel; expands C-band applications to higher vegetation density)
L	1 – 2	GHz	30 – 15 cm	Medium resolution SAR (geophysical monitoring; biomass and vegetation mapping; high penetration; InSAR)
P	0.3 – 1	GHz	100 – 30 cm	Biomass . First P-band spaceborne SAR will be launched ~2020; vegetation mapping and assessment. Experimental SAR

Radar Microwave Spectrum (approximately)

Band	Frequency		Wavelength	General Application
Ka	27 – 40	GHz	1.1 – 0.8 cm	Rarely used for SAR (airports surveillance)
K	18 – 27	GHz	1.7 – 1.1 cm	Rarely used for SAR (H_2O absorption)
Ku	12 – 18	GHz	2.4 – 1.7 cm	Rarely used for SAR (satellite altimetry)
X	8 – 12	GHz	3.8 – 2.4 cm	High-resolution SAR (urban monitoring; ice and snow; little penetration into vegetation cover; fast coherence decay in vegetated areas)
C	4 – 8	GHz	7.5 – 3.8 cm	SAR workhorse (global mapping; change detection; monitoring of areas with low to moderate vegetation; improved penetration; higher coherence); Ice, ocean, maritime navigation
S	2 – 4	GHz	15 – 7.5 cm	Little but increasing use for SAR-based Earth observation ; agriculture monitoring (NISAR will carry an S-band channel; expands C-band applications to higher vegetation density)
L	1 – 2	GHz	30 – 15 cm	Medium resolution SAR (geophysical monitoring; biomass and vegetation mapping; high penetration; InSAR)
P	0.3 – 1	GHz	100 – 30 cm	Biomass . First P-band spaceborne SAR will be launched ~2020; vegetation mapping and assessment. Experimental SAR

SAR backscatter values are determined by the **sensor** and **object** characteristics

- **Sensor characteristics:**

- Frequency/wavelength
- Polarization,
- Incidence angle,
- Slant-range direction

For time series analysis:

Always use data with same characteristics

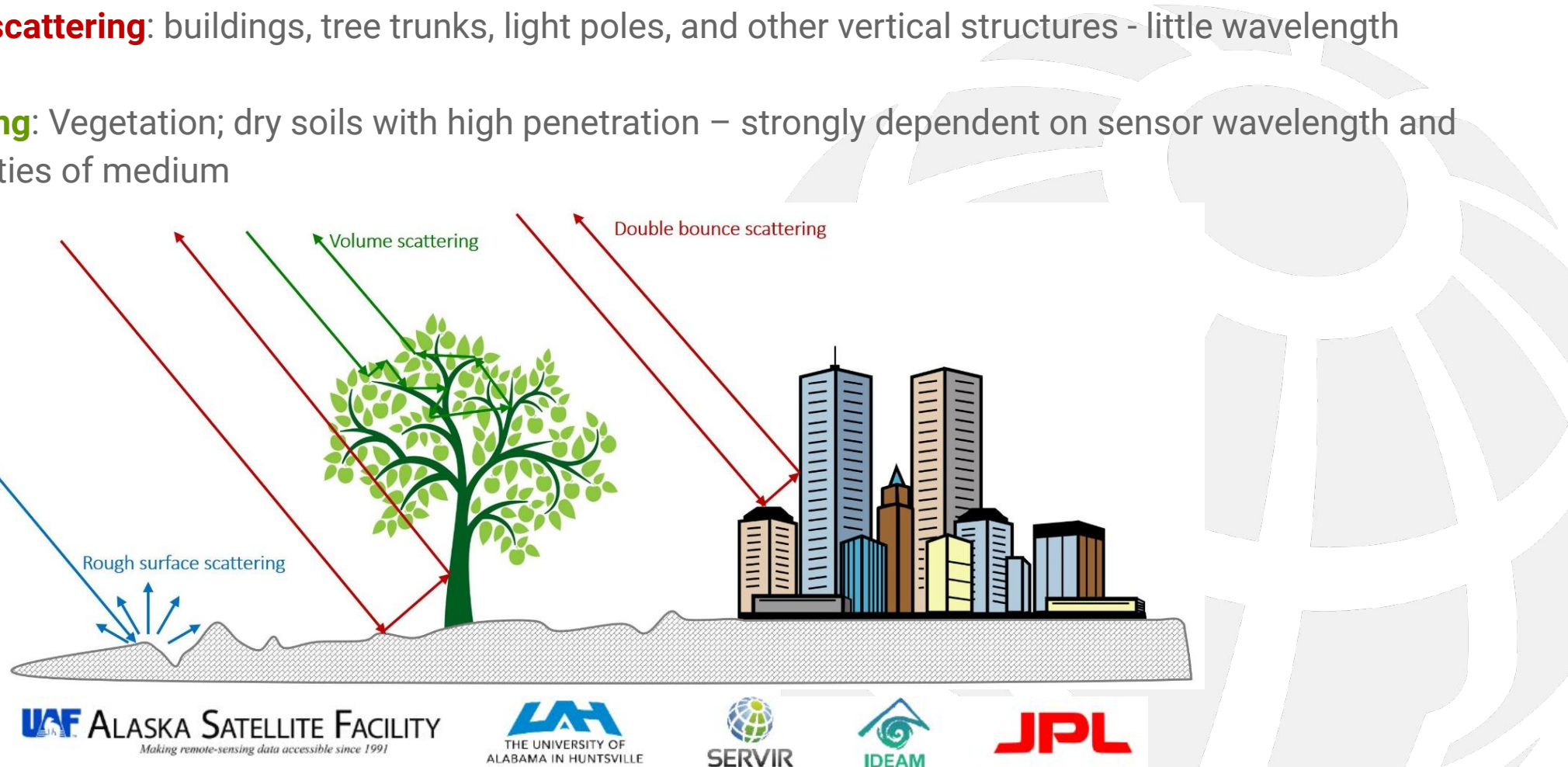
- To avoid errors in change detection

- **Object characteristics:**

- Increase in soil and vegetation moisture □ increase in backscatter
- Water bodies □ low response (dark image) - However, wind and ocean currents can increase backscatter response especially for short wavelengths (X, C bands)
- For longer wavelengths, double-bounce effect under the canopy can increase the backscatter response

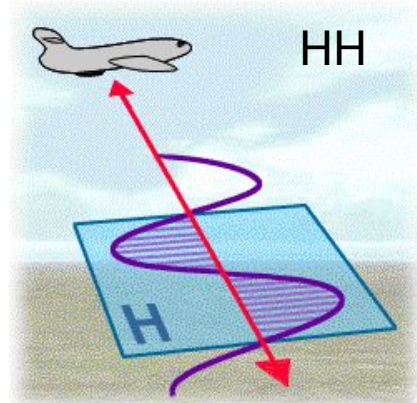
Scattering mechanisms

- Three main scattering mechanisms:
 - **Rough surface scattering**: water, bare soils, paved surfaces - scattering strongly dependent on surface roughness and sensor wavelength
 - **Double bounce scattering**: buildings, tree trunks, light poles, and other vertical structures - little wavelength dependence
 - **Volume scattering**: Vegetation; dry soils with high penetration – strongly dependent on sensor wavelength and dielectric properties of medium

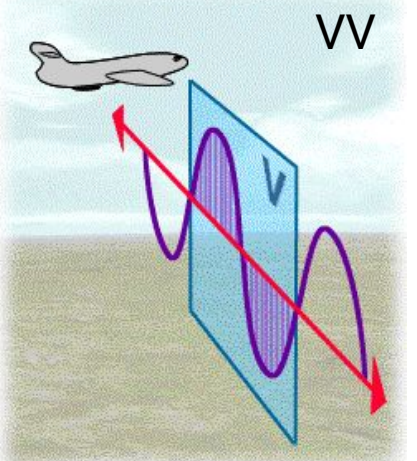


Polarizations

Horizontal Transmit
Horizontal Receive



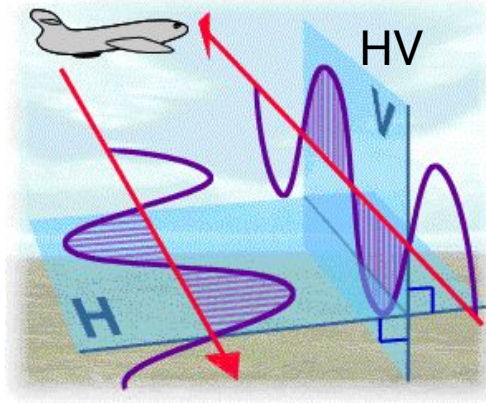
Vertical Transmit
Vertical Receive



HH

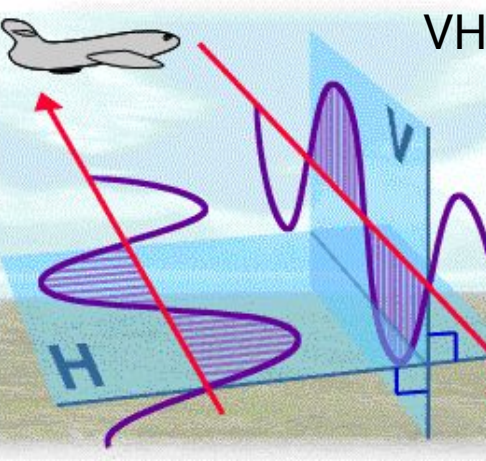
VV

Horizontal Transmit
Vertical Receive



VH

Vertical Transmit
Horizontal Receive



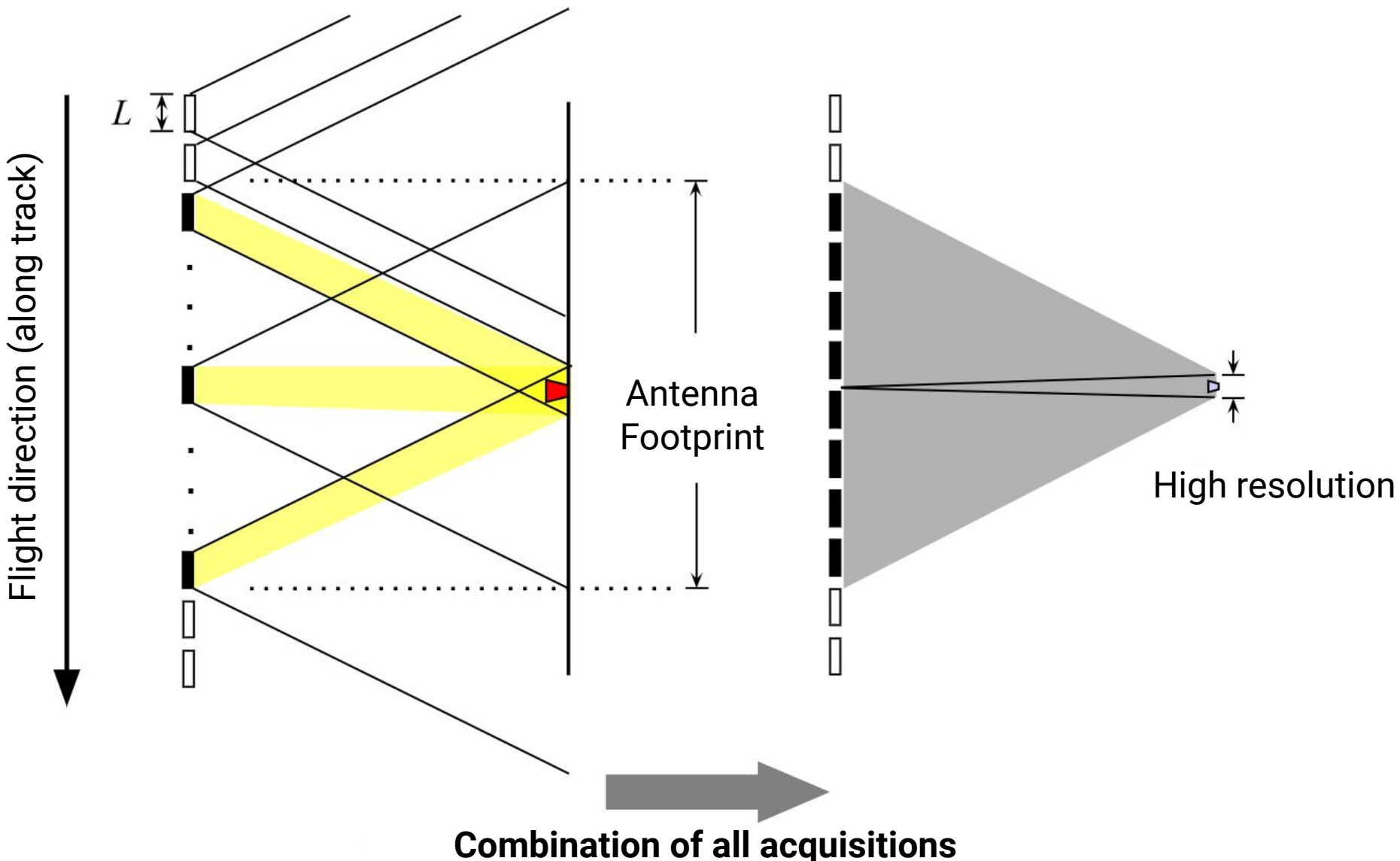
JPL

SAR polarimetry

- **Single polarization (single pol):**
 - VV or HH (or possibly HV or VH)
- **Dual polarization (dual pol):**
 - HH and HV, VV and VH, or HH and VV
- **Quad polarization (quad pol, fully-polarimetric):**
 - HH, VV, HV, and VH



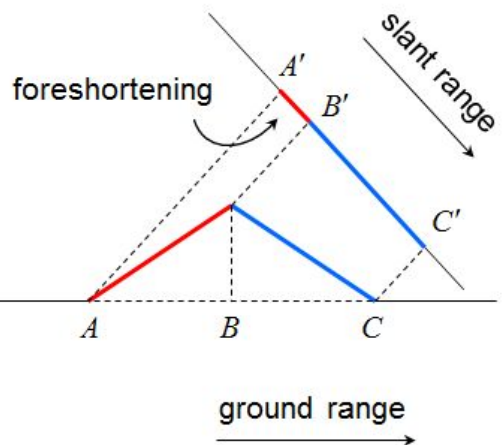
The concept of Synthetic Aperture Radar



Geometric distortions due to viewing geometry (side-looking)

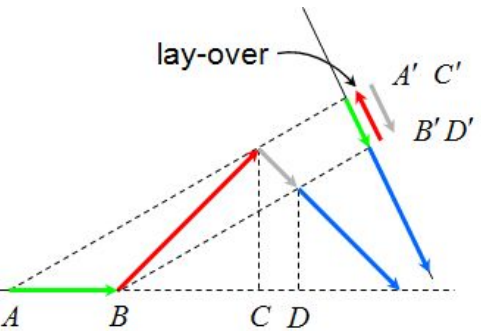
Foreshortening

- Sensor-facing slope foreshortened in image
- Foreshortening effects decrease with increasing look angle



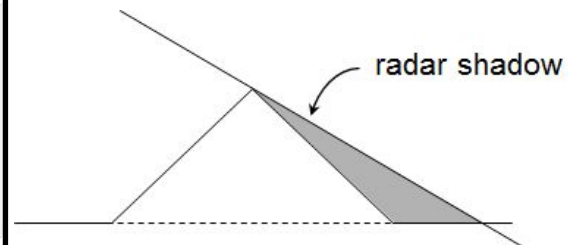
Layover

- Mountain top overlain on ground ahead of mountain
- Layover effects decrease with increasing look angle



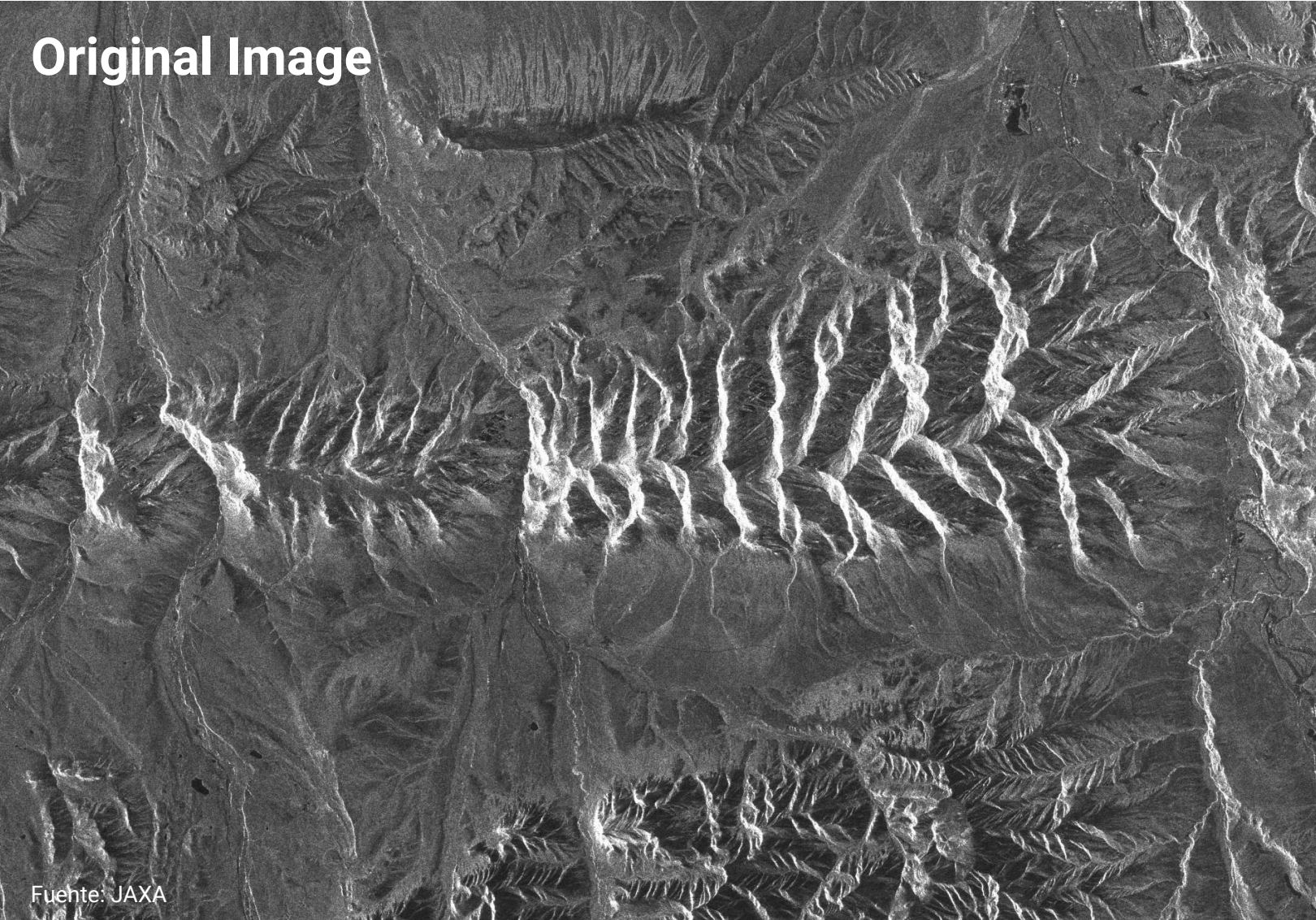
Shadow

- Area behind mountain cannot be seen by sensor
- Shadow effects increase with increasing look angle

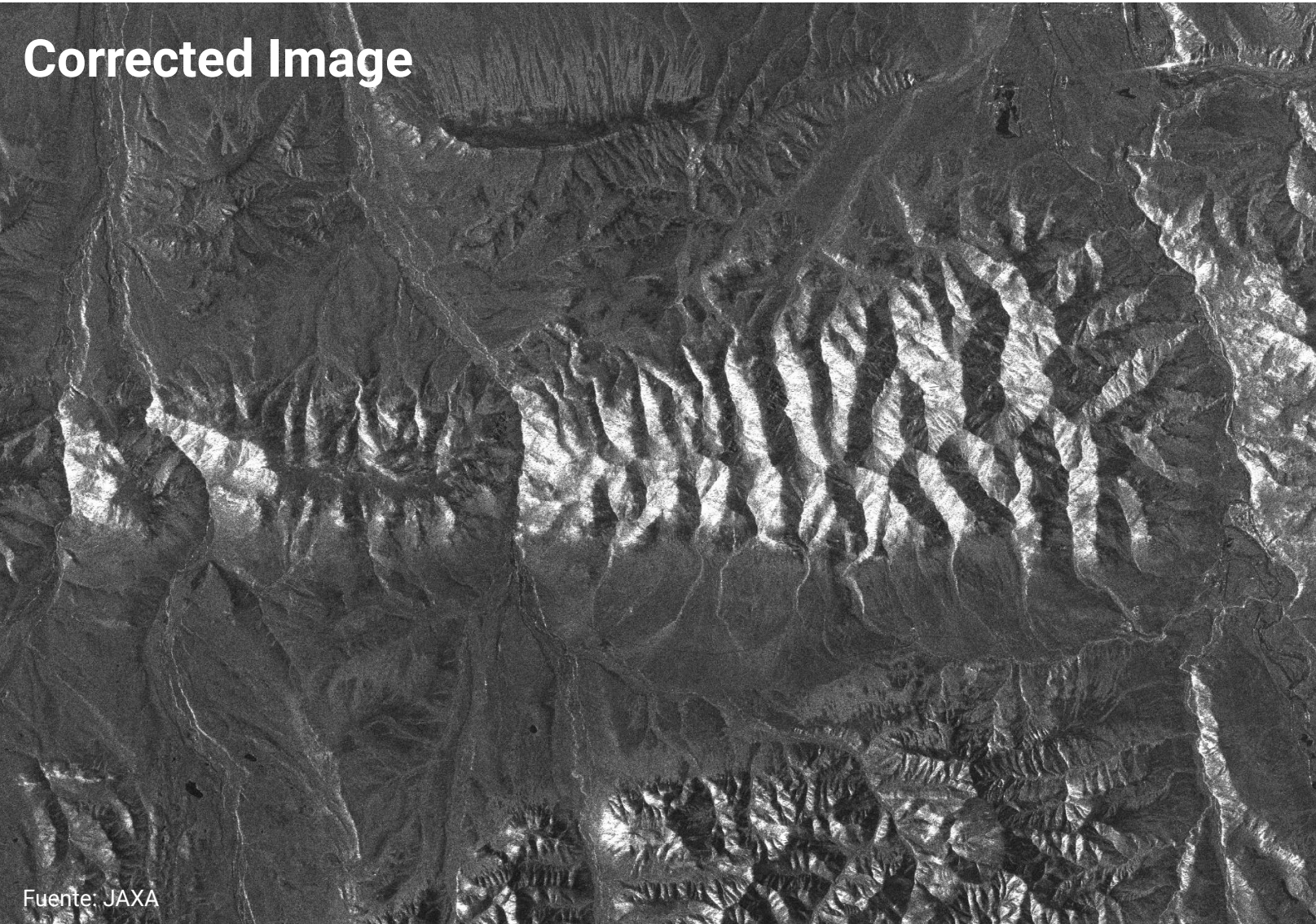


Geometric terrain correction example

Original Image



Geometric terrain correction example



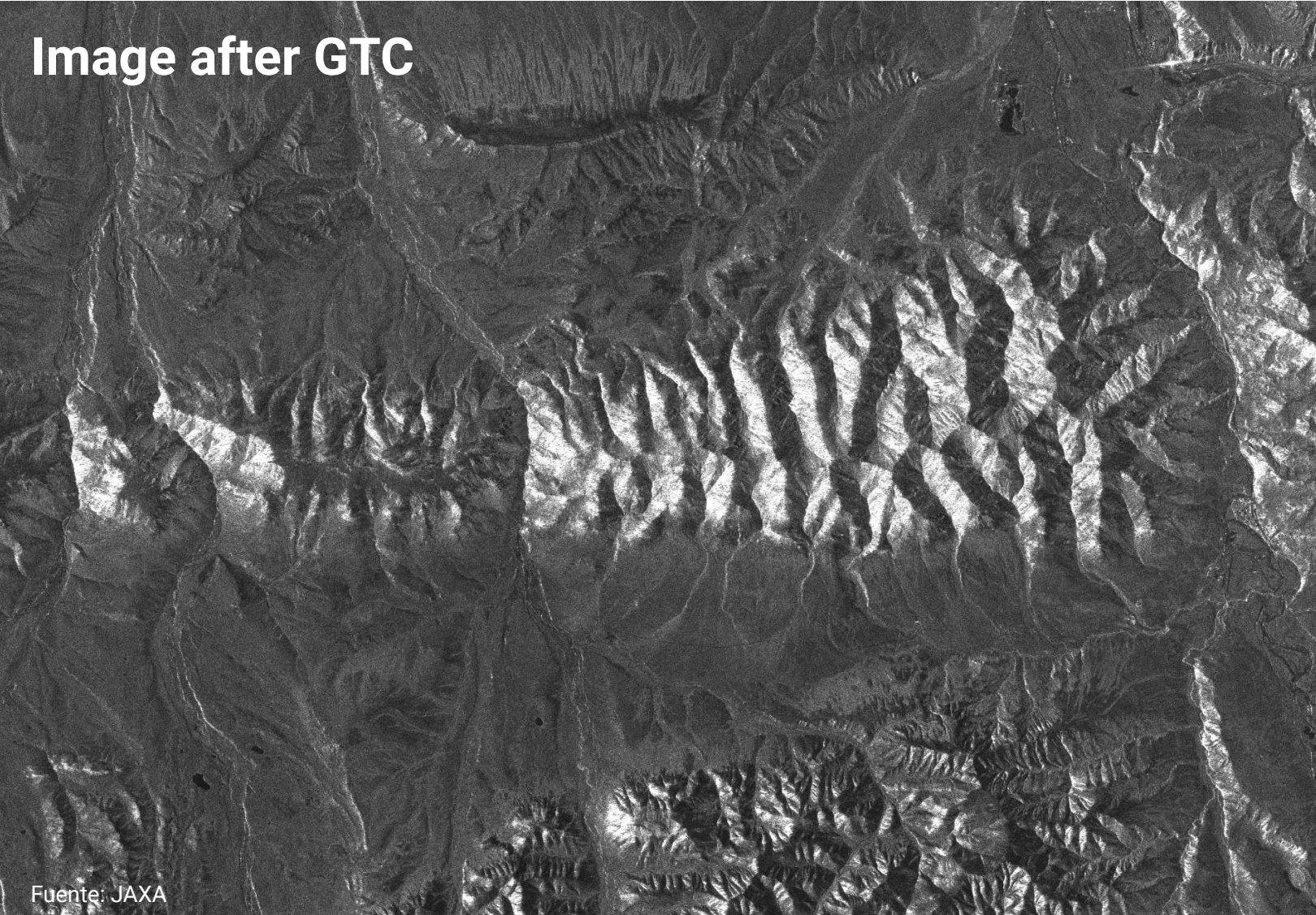
Radiometric Terrain Correction

- **Problem:** Sensor facing slopes appear overly bright in radar images
- **Cause:** Pixel Size on sensor facing slopes is larger → more ground is integrated into pixel → brightness goes up

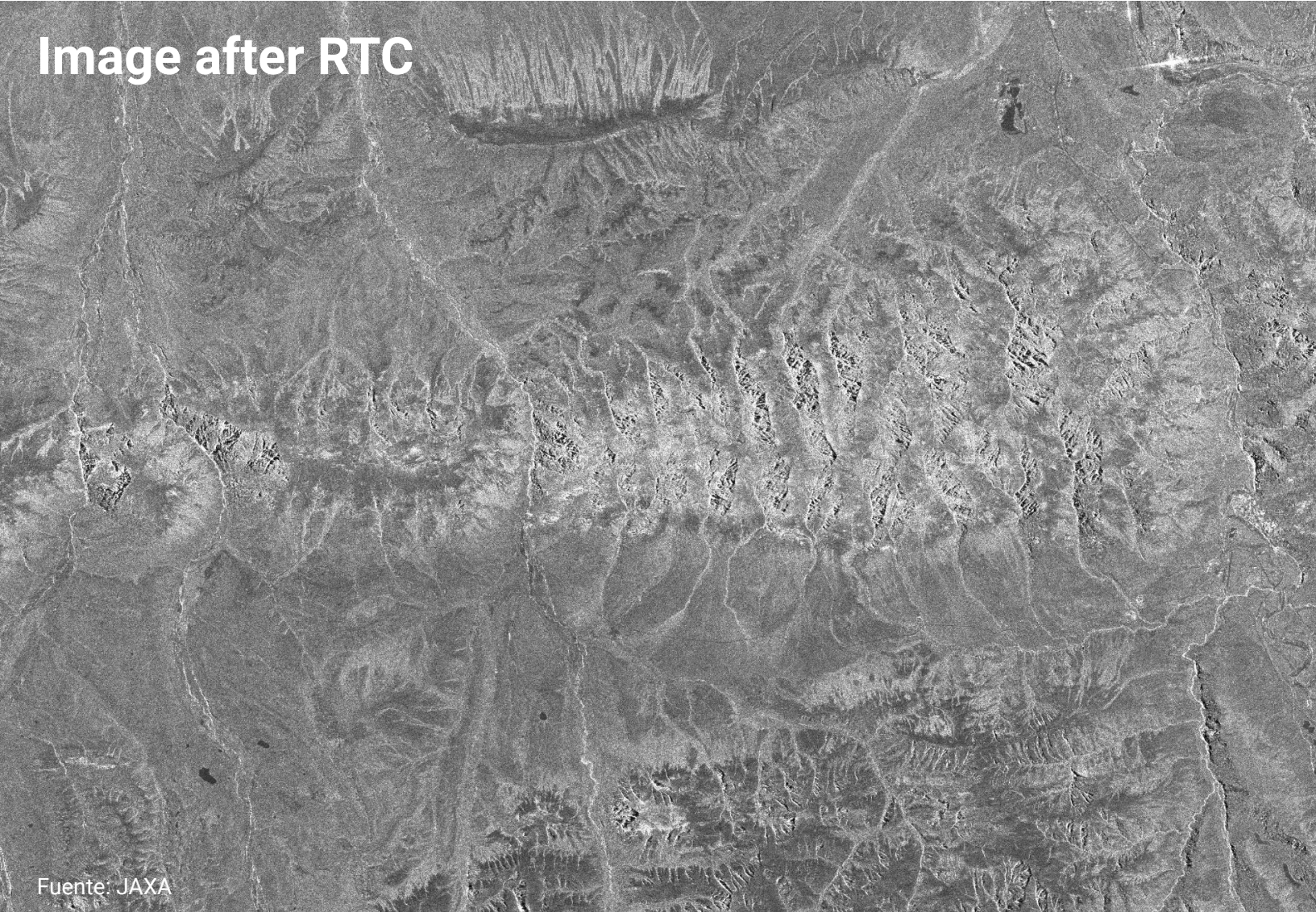
Solution: Radiometric Terrain Correction (RTC)

1. Using DEM and observation geometry, calculate exact equivalent area A_σ covered by each pixel
2. Normalize radar cross section by A_σ to arrive at terrain normalized data

RTC example



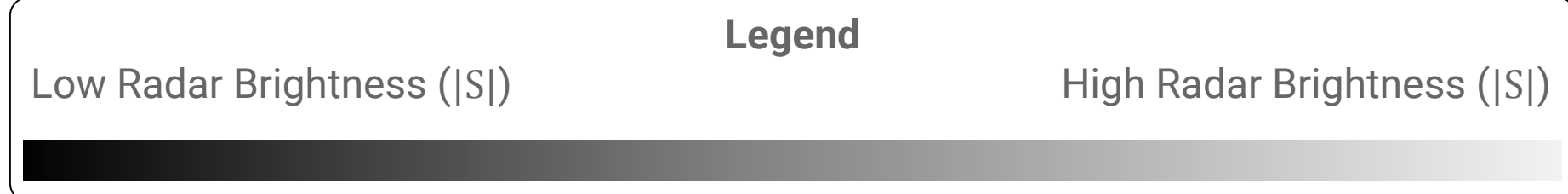
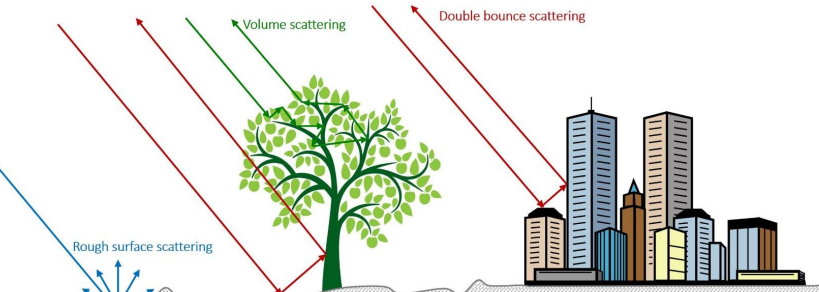
RTC example



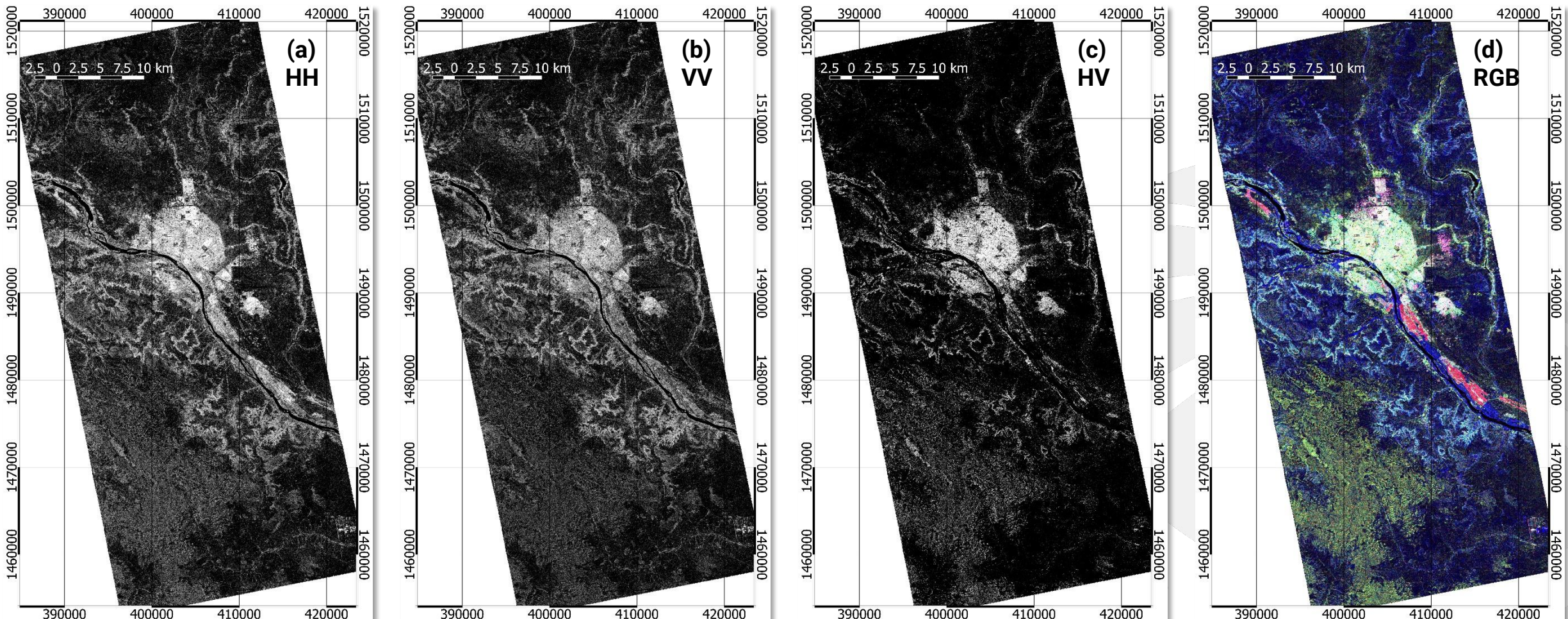
The influence of signal polarization

Relative Scattering Strength by Polarization

- Rough Surface Scattering $|S_{VV}| > |S_{HH}| > |S_{VH}|$ or $|S_{HV}|$
- Double bounce Scattering: $|S_{HH}| > |S_{VV}| > |S_{VH}|$ or $|S_{HV}|$
- Volume Scattering: Main source of $|S_{VH}|$ and $|S_{HV}|$



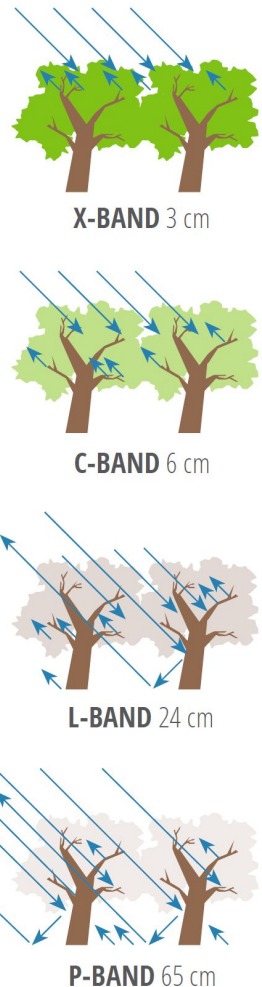
Polarimetric example for Niamey, Niger



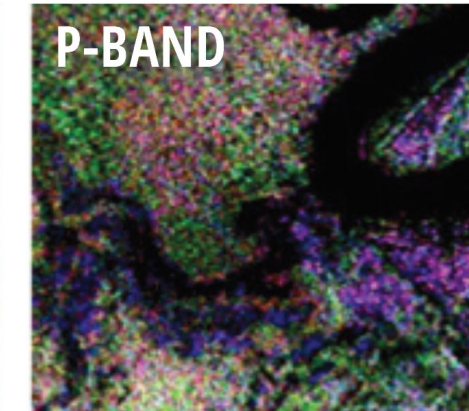
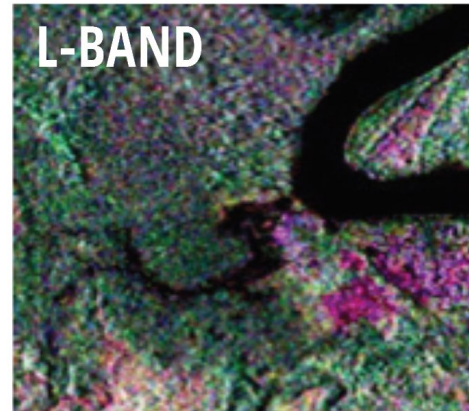
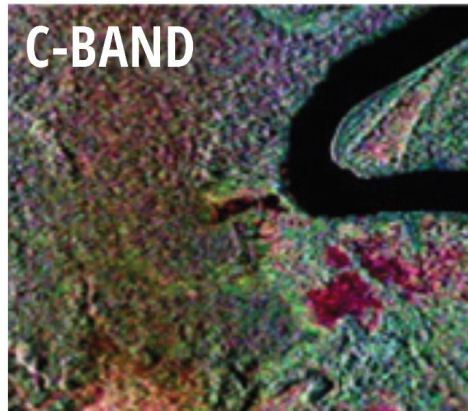
Fully-polarimetric L-band SAR scenes from the ALOS PALSAR sensor over Niamey, Niger: from (a) to (c) scattering powers from $|S_{HH}|$, $|S_{VV}|$ and $|S_{HV}|$, respectively. (d) RGB color combination ($|S_{HH}|$, $|S_{HV}|$, $|S_{VV}|$)

SAR backscatter response from Vegetation in different Wavelengths and Polarizations

Increase in penetration depth with an increase in wavelength



R: P-BAND, G: L-BAND, B: C-BAND

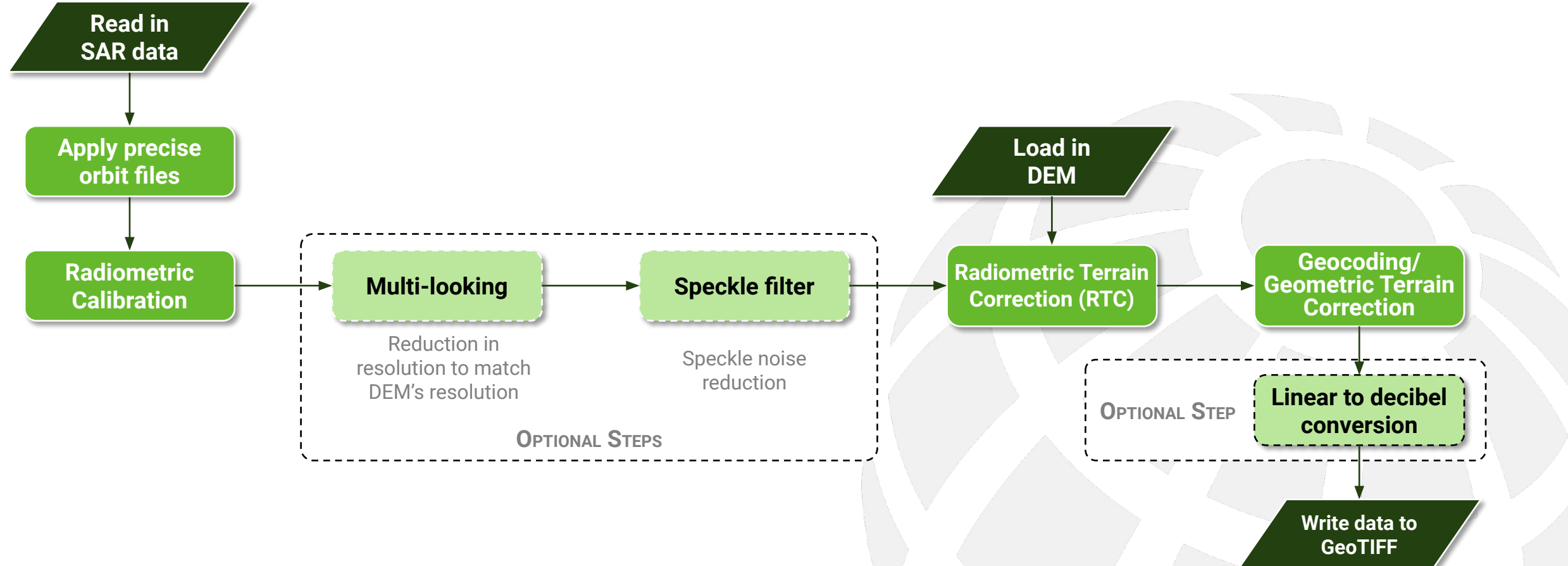


R: HH
G: HV
B: VV

Polarimetric responses and the medium characteristics are dependent on the sensor wavelength

Preprocessing steps, RTC and Geocoded Product

WORKFLOW FOR RADIOMETRIC TERRAIN CORRECTION AND GEOCODING



Preprocessing steps, RTC and Geocoded Product

1. Apply precise orbit files: updates metadata with a more precise orbit information
2. Radiometric Calibration: Converts DN to backscatter (σ^0)
3. Multi-looking: Resolution reduction for DEM matching
4. Speckle Filter: Speckle noise reduction
5. Radiometric Terrain Correction (RTC): Backscatter intensity correction in pixels that were distorted by viewing geometry (radiometric terrain flattening)
6. Geocoding/Geometric Terrain Correction (GTC): removes geometric image distortions due to viewing geometry

SAR Handbook: Comprehensive Methodologies for Forest Monitoring and Biomass Estimation

- Freely-available eBook, interactive pdfs, and training modules; result of a 2-year joint collaboration between **NASA SERVIR & SilvaCarbon**
- Applied content, hands-on trainings to get started using SAR for forest monitoring, biomass estimation, mangrove extent, time series analysis
- Authored by world-renowned SAR experts from the NISAR Science Team, US Forest Service, academia
- Reviewed and tested by the SERVIR Global network
- Downloadable open-source scripts and sample datasets for a variety of forestry applications; useful for **beginners to experts**

Download the SAR Handbook here: <https://bit.ly/2UHZtaw>

SAR Handbook training modules and more: <https://bit.ly/2GeKvAN>

For more information, visit the SERVIR website: SERVIRglobal.net

Contact: Africa Flores-Anderson (africa.flores@nasa.gov)



Selected pages from Ch. 6:
Radar Remote Sensing of Mangrove Forests (by Dr. Marc Simard, Sr. Scientist & mangrove specialist, NASA Jet Propulsion Laboratory)



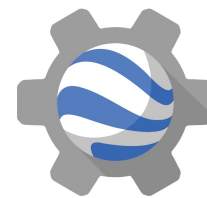
Making remote-sensing data accessible since 1981



Google Earth Engine



Google Earth Engine



- Planetary-scale cloud platform
- For access, processing, and analysis of **multitemporal** satellite data from different sources
- Entire collections such as the Landsat archive are already there
- JavaScript or Python API
- Shareable scripts
- Own data upload

The screenshot shows the Google Earth Engine interface. On the left, the 'Scripts' tab is selected, displaying a list of examples under 'Image' such as 'From Name', 'Where Operator', and 'Normalized Difference'. The main area shows a script titled 'Landsat - Phenology Model.js' with code for creating a linear model and predicting NDVI. Below the code is a map of a coastal area with various land cover types. To the right, the 'Console' tab shows a graph of NDVI values over time from April to October 2014, with a fitted curve overlaid.

```
// Set up the "design matrix" to input to the regression.
function createLinearModelInputs(img) {
  var tstamp = ee.Date(img.get('system:time_start'));
  var tdelta = tstamp.difference(start, 'year');
  // Build an image that will be used to fit the equation
  // c0 + c1*sin(2*pi*t) + c2*cos(2*pi*t) = NDVI
  var img_fitting = img.select()
    .addBands(1)
    .addBands(tdelta.multiply(2*Math.PI).sin())
    .addBands(tdelta.multiply(2*Math.PI).cos())
    .addBands(img.select('NDVI'))
    .toDouble();
  return img_fitting;
}

// Estimate NDVI according to the fitted model.
function predictNDVI(img) {
  var tstamp = ee.Date(img.get('system:time_start'));
  var tdelta = tstamp.difference(start, 'year');
  // predicted NDVI = c0 + c1*sin(2*pi*t) + c2*cos(2*pi*t)
  var predicted = ee.Image(meanCoeff)
    .add(c1Coeff.multiply(tdelta.sin()))
    .add(c2Coeff.multiply(tdelta.cos()));
  return predicted;
}
```

Source: Gorelick et al., 2017

Google Mission Statement

"To organize the world's information and make it universally accessible and useful."



The Earth Engine Data Catalog



Landsat & Sentinel 1, 2
10-30m, weekly



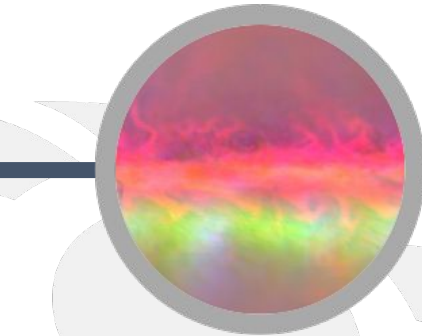
MODIS
250m daily



Vector Data
WDPA, Tiger



Terrain & Land Cover



Weather & Climate
NOAA NCEP, OMI, ...

... and upload your own vectors and rasters

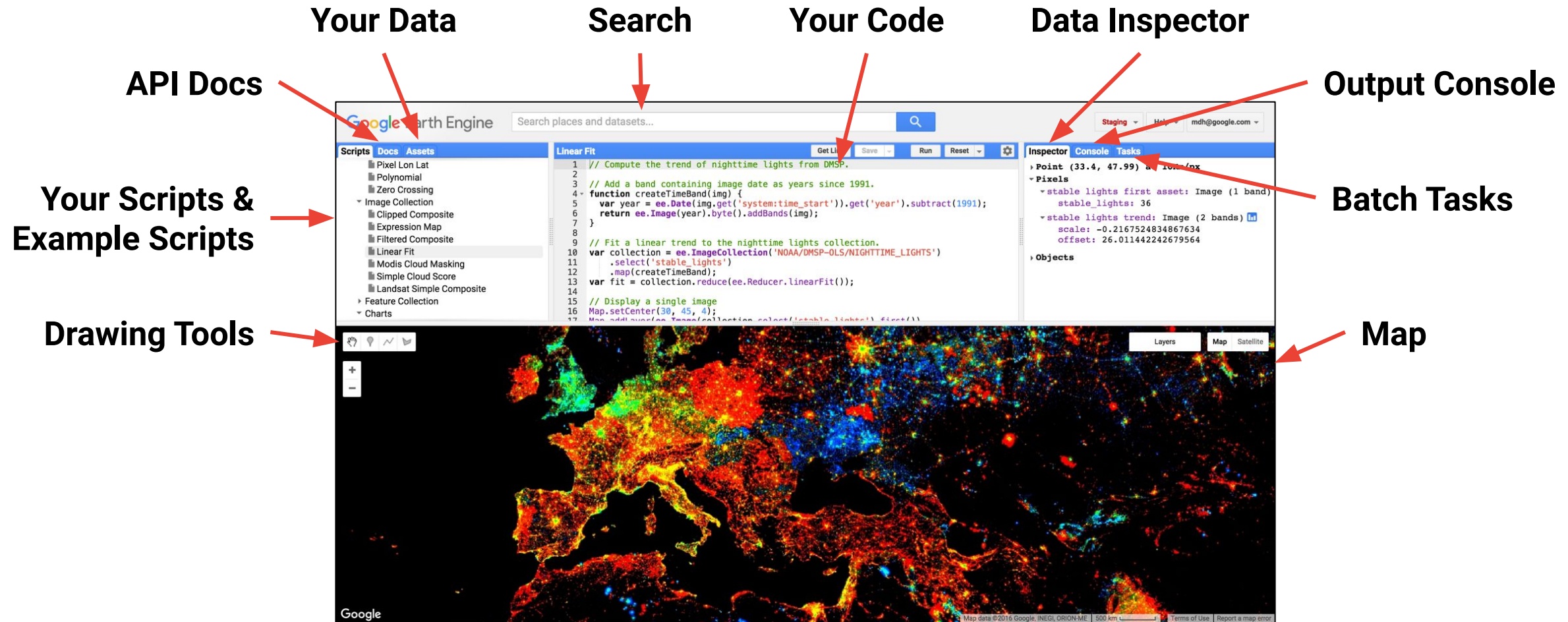
> 200 public datasets

> 5 million images

> 4000 new images every day

> 7 petabytes of data

The Earth Engine Code Editor



code.earthengine.google.com

Sentinel-1 Data in GEE



Sentinel-1 Data in GEE



- Logarithm scale (dB)
 - $10 \times \log_{10}(\sigma^0)$
 - Backscatter coefficient σ^0
- Choose only one path direction
(ascending or descending)
- Radiometric Terrain
Flattening/Correction not applied in
GEE
 - Can produce geocoding and radiometric errors

The screenshot shows the GEE code editor at the top with a script titled "s1_l8_cloud_example". The code uses the Earth Engine API to filter Landsat 8 surface reflectance data and Sentinel-1 SAR GRD data for a specific date range. It then adds a median layer to the filtered data. Below the code is a map viewer displaying a grayscale terrain map of a mountainous region in Peru, overlaid with a green polygon representing the area of interest. The map includes place names like Bellavista, Juanjuí, Huicungo, Tocache, Uchiza District, Acaybamba, Llata, Hualanca, Ambó, Yanahuanca, Pojo, Bolognesi, and Ipixuna. Roads are also visible, labeled with numbers like 3N, 12A, 18, and 364.

```
s1_l8_cloud_example *
Imports (4 entries) ▾
var pt: MultiPoint, 6 vertices ▾ ▾
var l8: ImageCollection "USGS Landsat 8 Surface Reflectance Tier 1"
var s1: ImageCollection "Sentinel-1 SAR GRD: C-band Synthetic Aperture Radar Ground Range Detected, log scaling"
var geometry: Polygon, 4 vertices ▾ ▾
Get Link Save Run Reset Apps
1 var comL8 = ee.ImageCollection(l8.filterDate('2019-01-01',Date.now()))
2   .filterBounds(pt);
3   Map.addLayer(comL8.median(),{bands:['B4','B3','B2'],min:0,max:2000},'Landsat median')
4 var comL8m = comL8.map(function(img){
5   var mask = img.select('pixel_qa').bitwiseAnd(3).or(img.select('pixel_qa').bitwiseAnd(5))
6   return img.updateMask(mask).set('system:time_start', img.get('system:time_start'))
7 })
8 Map.addLayer(comL8m.median(),{bands:['B4','B3','B2'],min:0,max:2000},'Landsat median')
9
10 var comS1 = s1.filterDate('2019-01-01','2019-01-07')
```

Sentinel-1 in GEE examples



<https://bit.ly/35XVI3k>

Script 1

Script 2

Script 3



Survey



menti.com

161761





Thank You!

Source: ASF

Andrea Puzzi Nicolau

Amazonia Regional Science Associate
NASA SERVIR Science Coordination Office
Earth System Science Center

University of Alabama in Huntsville

andrea.puzzinicolau@nasa.gov

andrea.nicolau@uah.edu

 [@puzzinicolau](https://twitter.com/puzzinicolau)





Taller: Radar de Apertura Sintética (SAR) y Google Earth Engine

Fuente: ESA

Andrea Puzzi Nicolau

Investigadora Asociada

NASA SERVIR Science Coordination Office

Earth System Science Center

University of Alabama in Huntsville



USAID
FROM THE AMERICAN PEOPLE



Synthetic Aperture Radar (SAR)

Radar de Apertura Sintética



Synthetic Aperture Radar (SAR)

Radar de Apertura Sintética

Empezar con esto



Radar → ¿Qué significa?



Radar → ¿Qué significa?

RAdio **D**etection **A**nd **R**anging



Radar → ¿Qué significa?

RAdio **D**etection **A**nd **R**anging

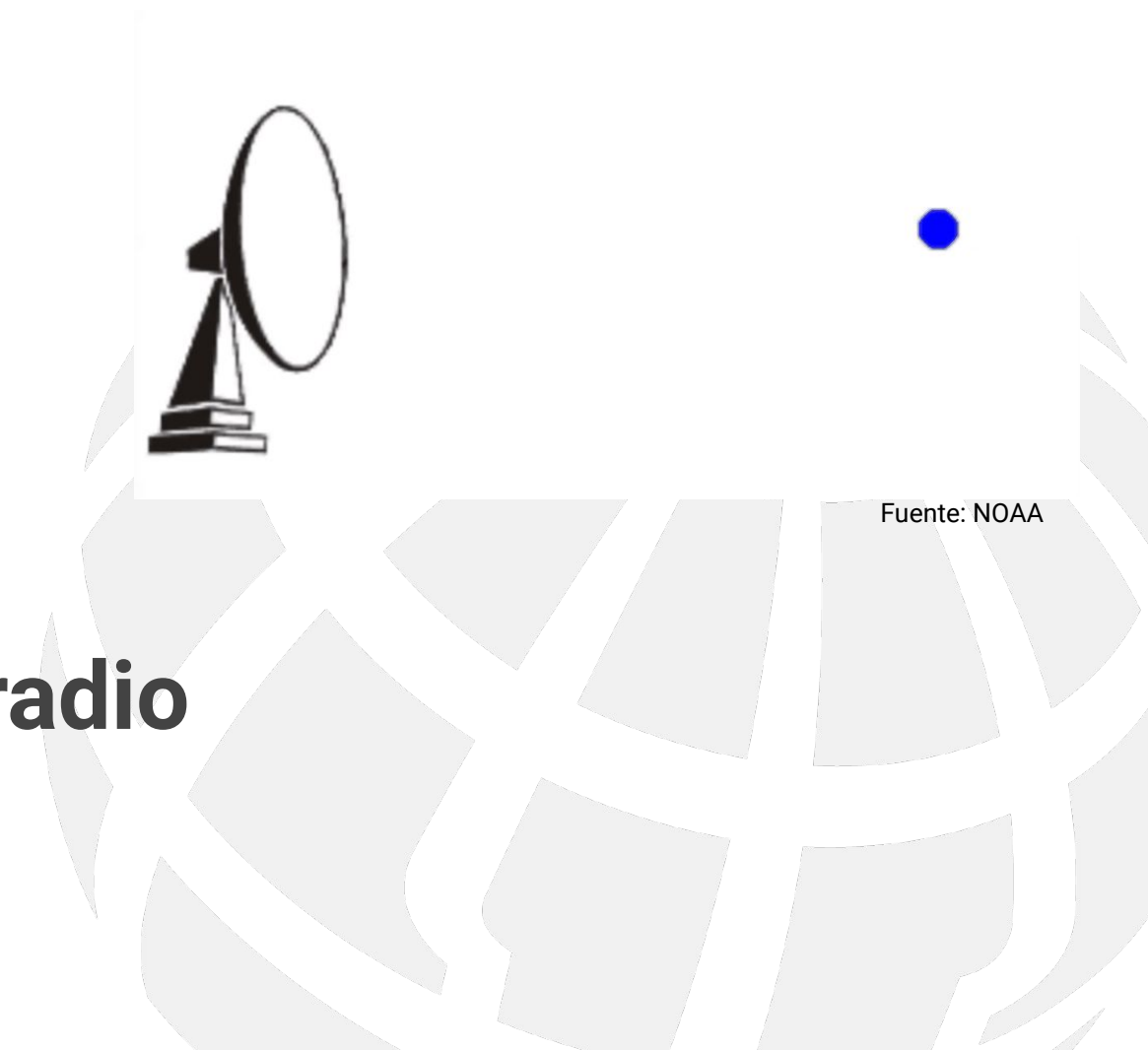
Detección y uso de ondas de radio



Radar → ¿Qué significa?

RAdio **D**etection **A**nd **R**anging

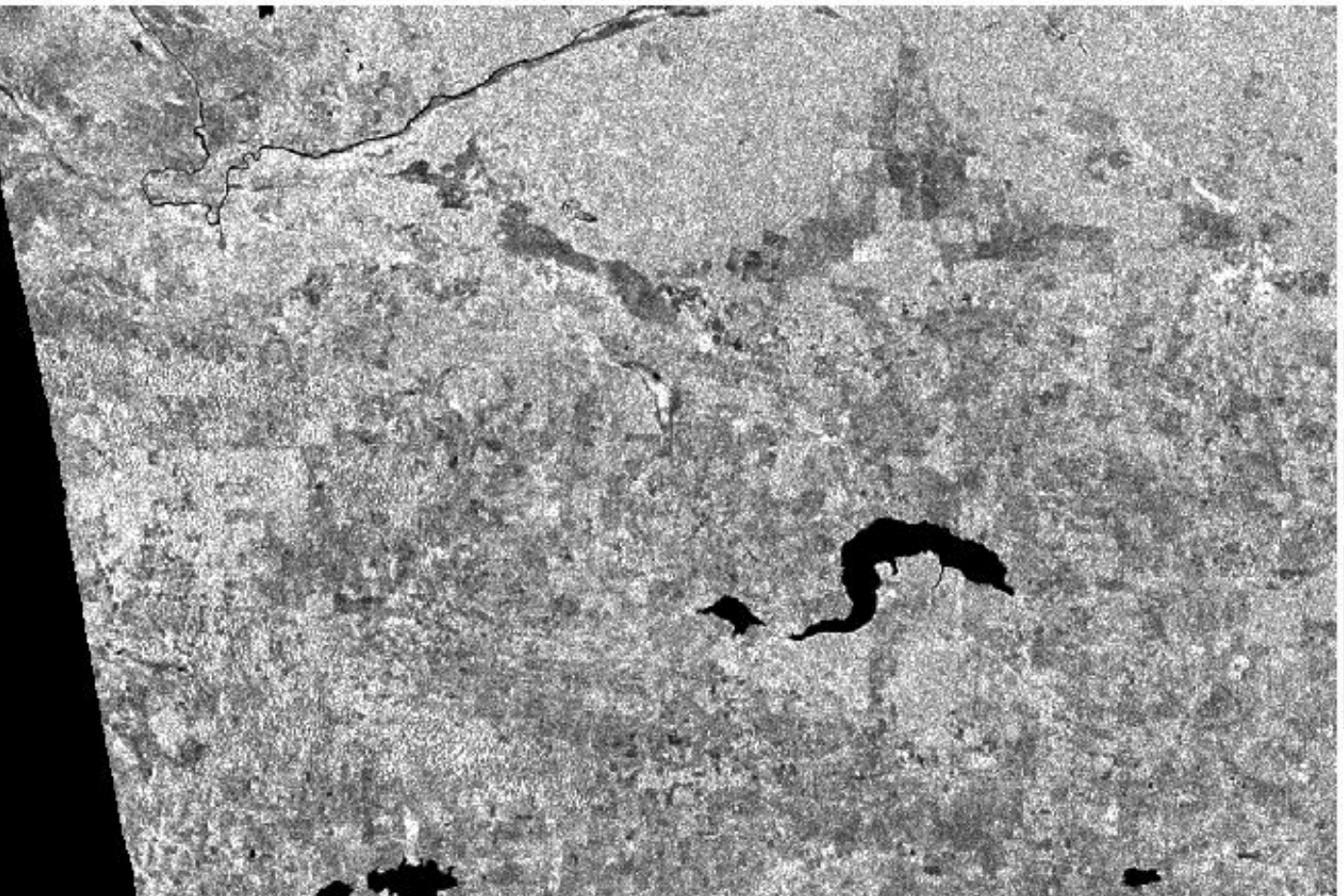
Detección y uso de ondas de radio



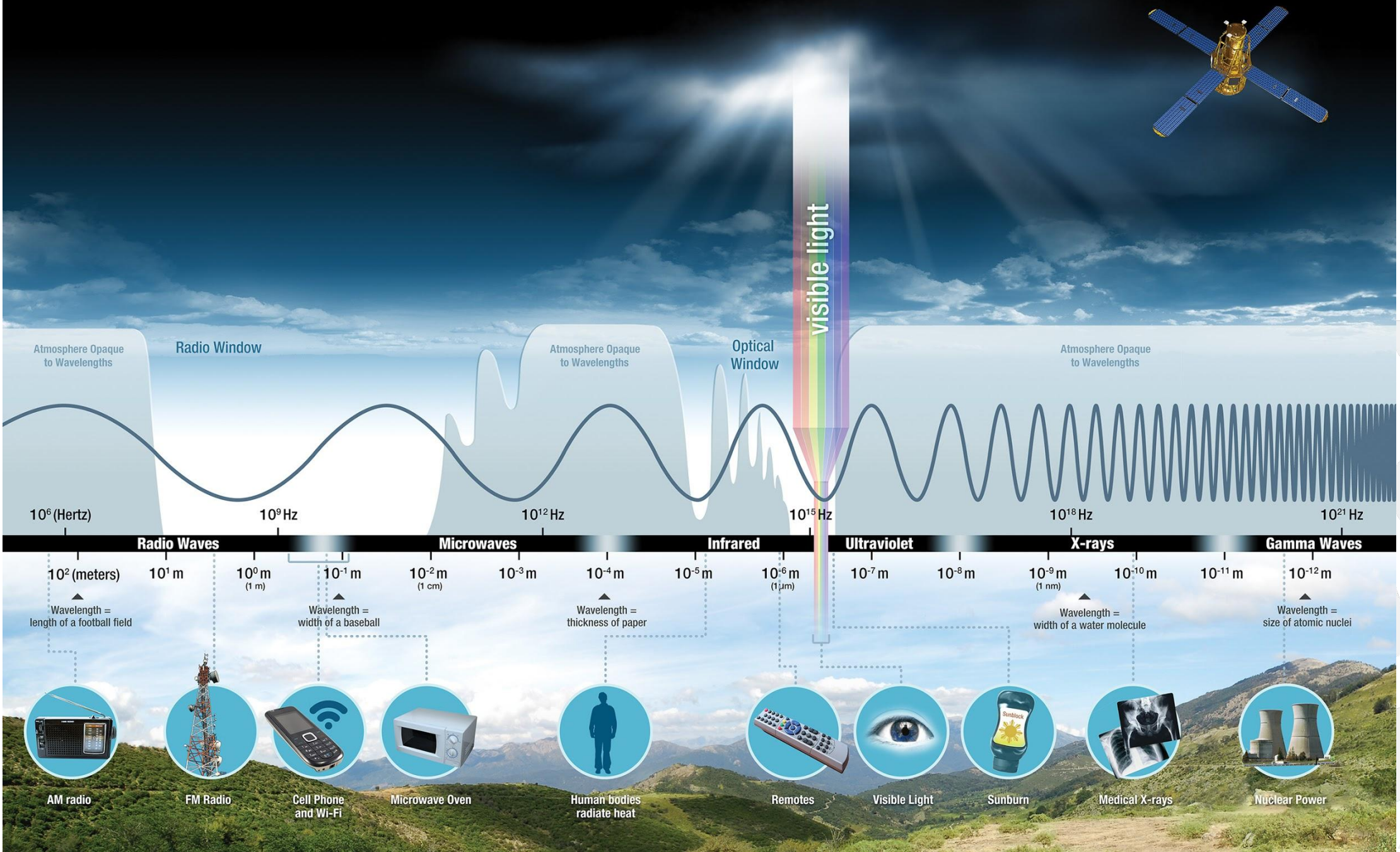
¿Que ve SAR?

- Estructura
- Humedad

2017-01-03



Especro electromagnético



Source: National Aeronautics and Space Administration, Science Mission Directorate. (2010). Introduction to the Electromagnetic Spectrum. Retrieved [insert date] - e.g. August 10, 2016], from NASA Science website: http://science.nasa.gov/ems/01_intro

El Espectro de Microondas (aproximadamente)

Banda	Frecuencia		Longitud	Aplicación típica
Ka	27 – 40	GHz	1.1 – 0.8 cm	Raramente se usa para SAR (vigilancia en aeropuertos)
K	18 – 27	GHz	1.7 – 1.1 cm	Raramente se usa para SAR (absorción de H ₂ O)
Ku	12 – 18	GHz	2.4 – 1.7 cm	Raramente se usa para SAR (altimetría satelital)
X	8 – 12	GHz	3.8 – 2.4 cm	Resolución alta de SAR (monitoreo urbano; hielo y nieve; poca penetración en la cobertura vegetal; decadencia de coherencia rápida en áreas con vegetación)
C	4 – 8	GHz	7.5 – 3.8 cm	Caballo de batalla de SAR (mapeo global; detección de cambio; monitoreo de áreas con cobertura de vegetación de baja a moderada; penetración mejorada; mayor coherencia)
S	2 – 4	GHz	15 – 7.5 cm	Poco pero creciente uso en Obs. Terrestres basadas en SAR monitoreo de agricultura (NISAR tendrá Banda-S; expande aplicaciones de la banda-C para áreas con mayor densidad de vegetación)
L	1 – 2	GHz	30 – 15 cm	Resolución media de SAR (Monitoreo geofísico; mapeo de biomasa y vegetación; alta penetración; InSAR)
P	0.3 – 1	GHz	100 – 30 cm	Estimación de biomasa. El primer SAR satelital se lanzará en ~2020; mapeo y evaluación de vegetación. SAR experimental.

El Espectro de Microondas (aproximadamente)

Banda	Frecuencia	Longitud	Aplicación típica
Ka	27 – 40 GHz	1.1 – 0.8 cm	Raramente se usa para SAR (vigilancia en aeropuertos)
K	18 – 27 GHz	1.7 – 1.1 cm	Raramente se usa para SAR (absorción de H ₂ O)
Ku	12 – 18 GHz	2.4 – 1.7 cm	Raramente se usa para SAR (altimetría satelital)
X	8 – 12 GHz	3.8 – 2.4 cm	Resolución alta de SAR (monitoreo urbano; hielo y nieve; poca penetración en la cobertura vegetal; decadencia de coherencia rápida en áreas con vegetación)
C	4 – 8 GHz	7.5 – 3.8 cm	Caballo de batalla de SAR (mapeo global; detección de cambio; monitoreo de áreas con cobertura de vegetación de baja a moderada; penetración mejorada; mayor coherencia)
S	2 – 4 GHz	15 – 7.5 cm	Poco pero creciente uso en Obs. Terrestres basadas en SAR monitoreo de agricultura (NISAR tendrá Banda-S; expande aplicaciones de la banda-C para áreas con mayor densidad de vegetación)
L	1 – 2 GHz	30 – 15 cm	Resolución media de SAR (Monitoreo geofísico; mapeo de biomasa y vegetación; alta penetración; InSAR)
P	0.3 – 1 GHz	100 – 30 cm	Estimación de biomasa. El primer SAR satelital se lanzará en ~2020; mapeo y evaluación de vegetación. SAR experimental.

Los valores de retrodispersión SAR están determinados por las características del sensor y del objeto

- **Características del Sensor:**

- frecuencia/longitud de onda de SAR,
- Polarización de la señal SAR transmitida y recibida,
- ángulo de incidencia radar-suelo,
- Y dirección de mirada del sensor

Especialmente para análisis de series de tiempo:

Usar datos con las mismas características del sensor

- Para evitar interpretaciones erróneas de características del sensor como cambio

- **Características del Objeto:**

- Humedad en suelos y vegetación; agua estancada abierta y agua estancada debajo del dosel
- Aumento en la humedad de los suelos y vegetación incrementa la retrodispersión SAR
- Agua estancada abierta típicamente muy oscura - Sin embargo, viento y corrientes pueden agitar el agua y aumentar el brillo especialmente para observaciones de longitud de onda corta (banda X y C)
- En longitudes de onda más largas, el efecto de doble rebote debajo del dosel puede tener una fuerte señal de retrodispersión

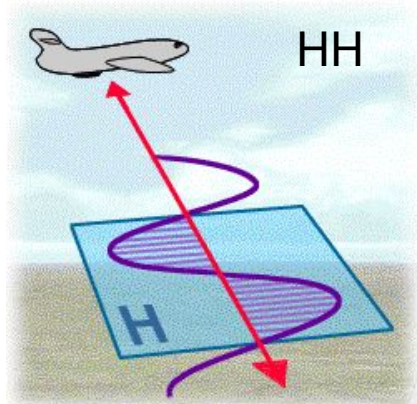
¿Cómo reacciona la señal del SAR?

- En la longitud de onda del radar, la dispersión es muy física y puede describirse como una serie de rebotes en las interfaces de dispersión
- Tres mecanismos principales de dispersión dominan:
 - **Dispersión en superficies (rugosas)**: agua, suelos desnudos, caminos – la dispersión depende en gran medida de la rugosidad de la superficie y la longitud de onda del sensor
 - **Dispersión de doble-rebote**: Edificios, troncos de árboles, postes de luz – poca dependencia de la longitud de onda
 - **Dispersión volumétrica**: Vegetación; suelos secos con alta penetración – depende fuertemente de la longitud de onda del sensor y las propiedades dieléctricas del medio

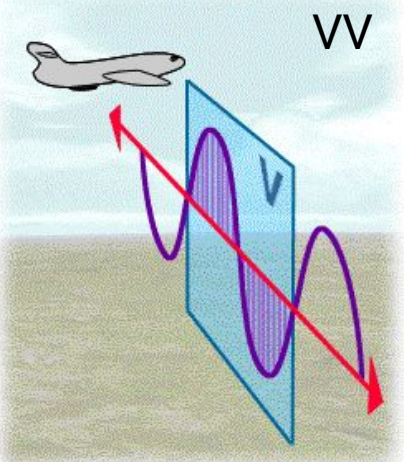


Polarizaciones

Transmisión Horizontal
Recepción Horizontal



Transmisión Vertical
Recepción Vertical



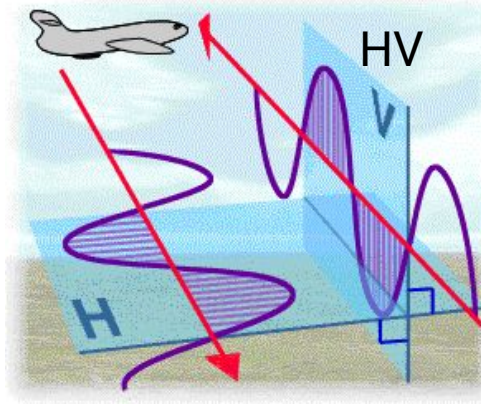
HH

VV

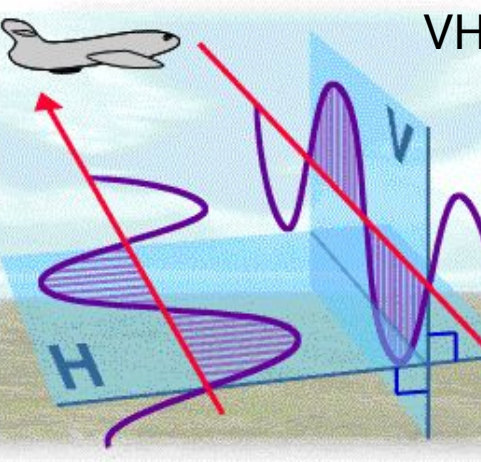
HV

VH

Transmisión Horizontal
Recepción Vertical



Transmisión Vertical
Recepción Horizontal

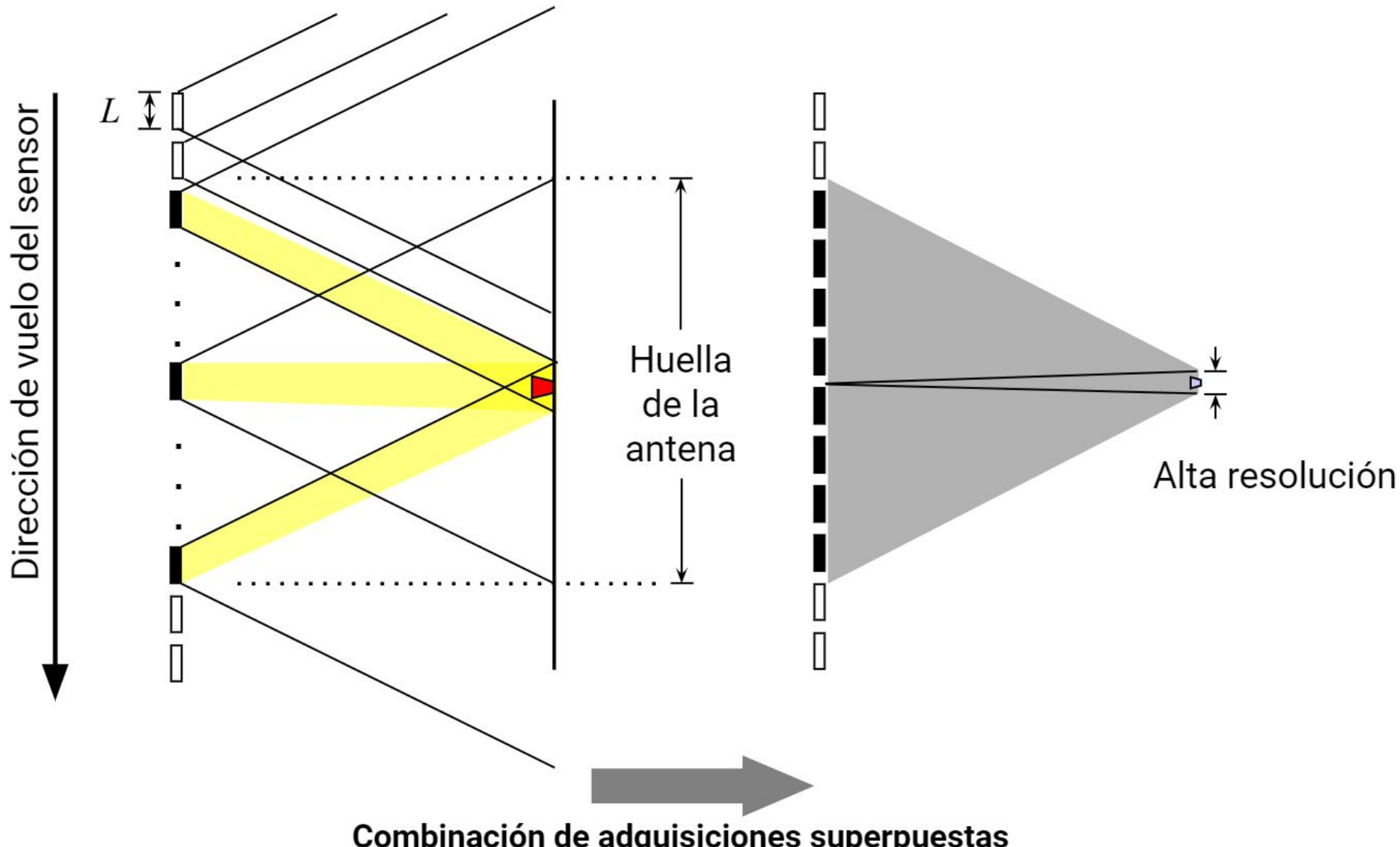


Configuraciones del sistema SAR polarimétrico

- Polarización única (single pol):
 - VV o HH (o posiblemente HV o VH)
- Polarización doble (dual pol):
 - HH y HV, VV y VH, o HH y VV
- Polarización cuádruple (quad pol) (totalmente polarimétrico):
 - HH, VV, HV, y VH



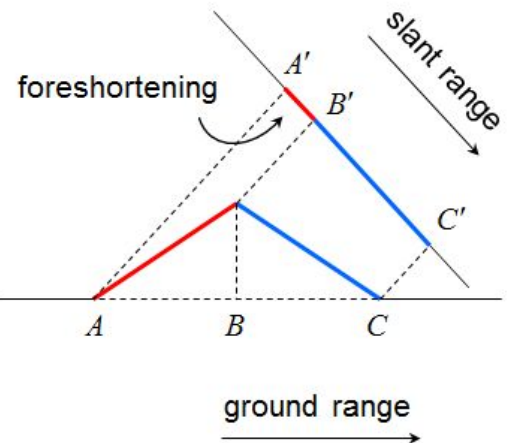
Formación de una apertura sintética - Principio SAR



Distorsiones geométricas como consecuencia del ángulo oblicuo

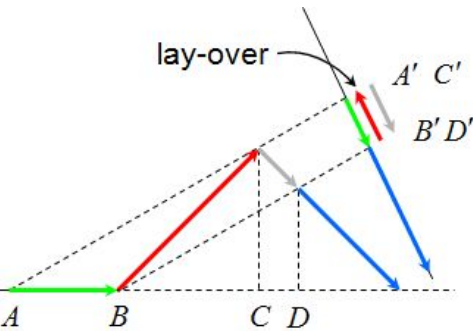
Escorzo/perspectiva (foreshortening)

- Pendiente orientada al sensor acortada en la imagen
- Estos efectos disminuyen al aumentar el ángulo de *mirada*



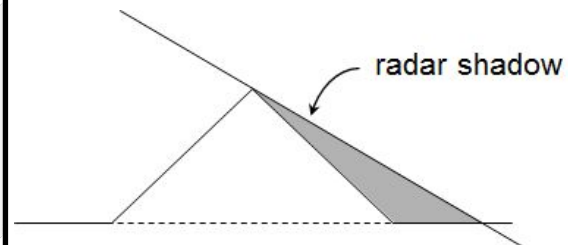
Inversión por relieve (Layover)

- Cima de la montaña sobreposta a la base delante de la montaña
- Estos efectos disminuyen al aumentar el ángulo de mirada



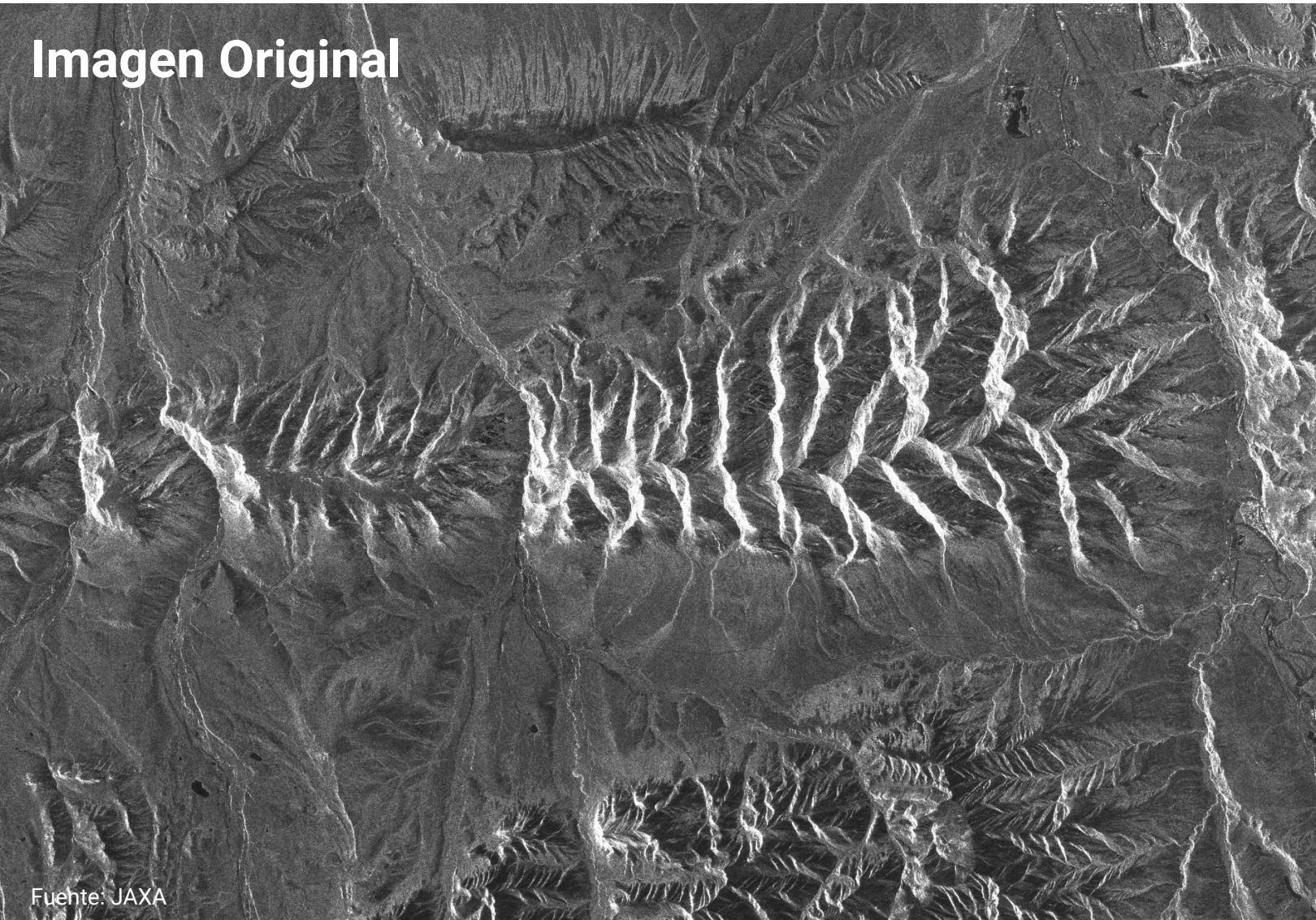
Sombra

- Área detrás de la montaña no puede ser vista por el sensor
- Estos efectos aumentan al aumentar el ángulo de mirada



Ejemplo de Corrección geométrica del terreno

Imagen Original



Ejemplo de Corrección geométrica del terreno

Imagen Corregida geométricamente

Fuente: JAXA

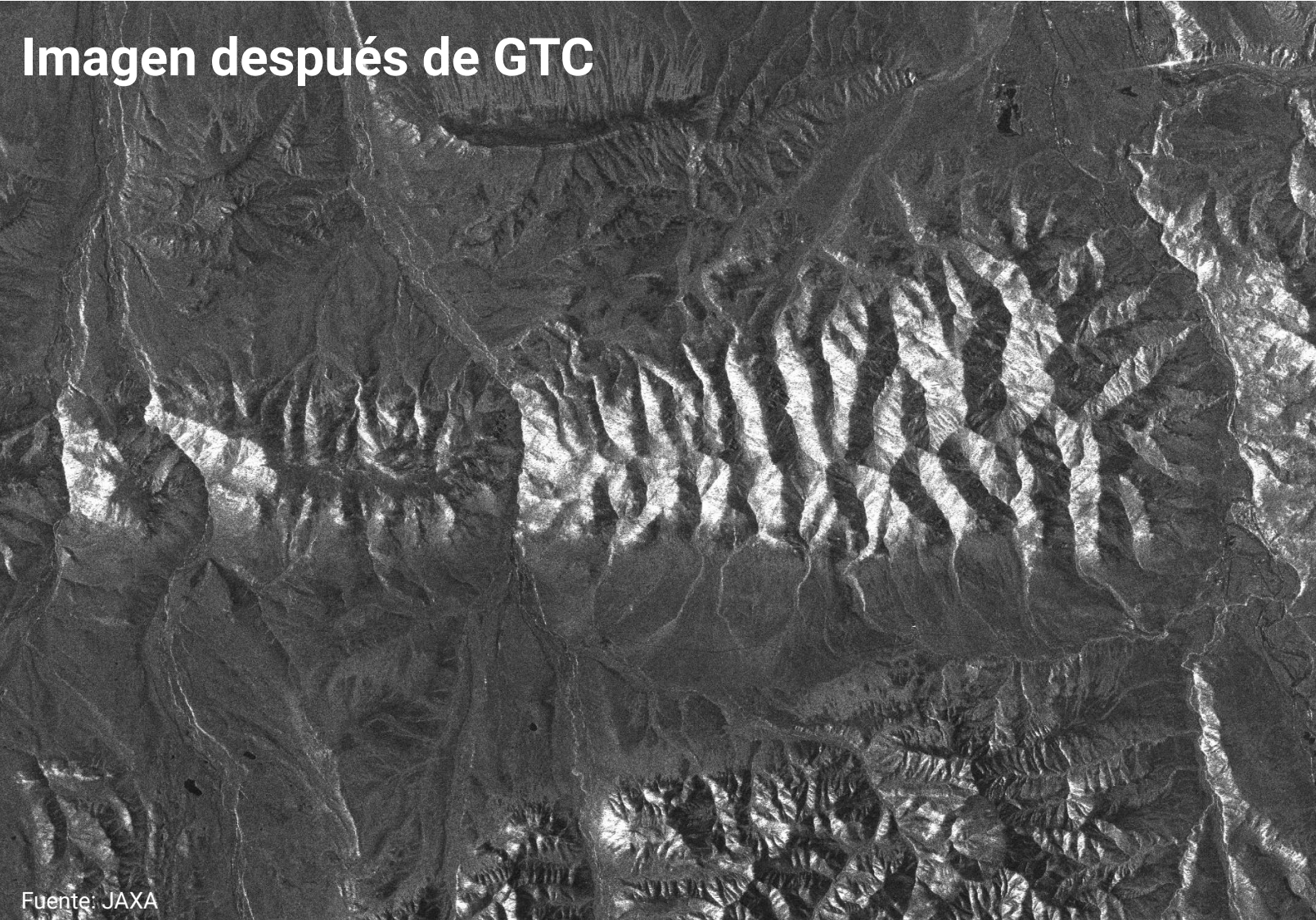
Corrección Radiométrica del Terreno

- **Problema:** Las pendientes orientadas al sensor aparecen demasiado brillantes en las imágenes de radar
- **Causa:** El tamaño del píxel en las pendientes orientadas al sensor es mayor → más área es integrada al pixel → el brillo aumenta

Solución: Corrección Radiométrica del Terreno (RTC, por sus siglas en inglés)

1. Usando el DEM y observación geométrica, se calcula la área equivalente exacta cubierta por cada pixel
2. Normaliza la sección transversal por la área equivalente exacta para llegar a datos normalizados del terreno

Ejemplo de Corrección geométrica del terreno



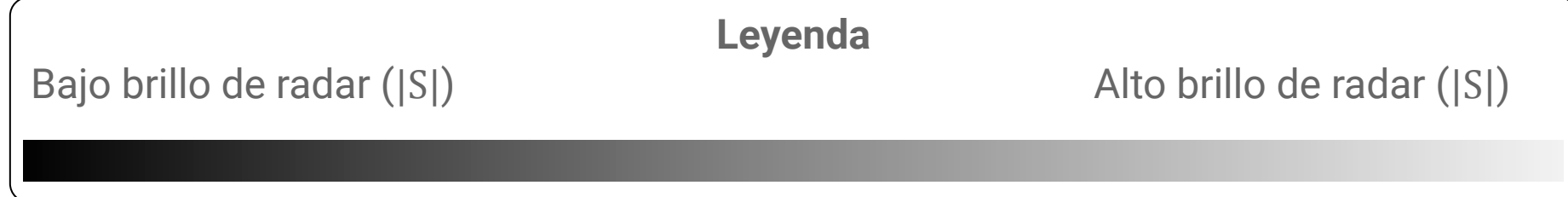
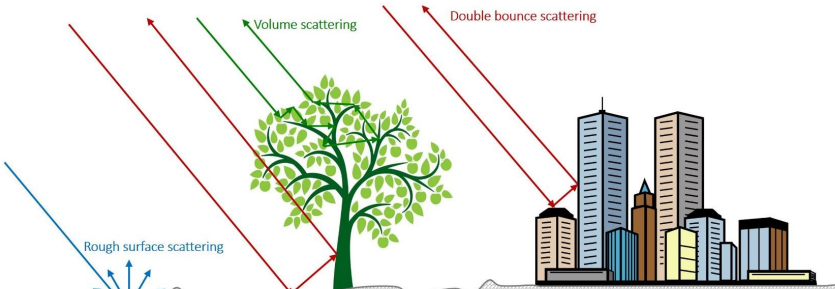
Ejemplo de Corrección geométrica del terreno



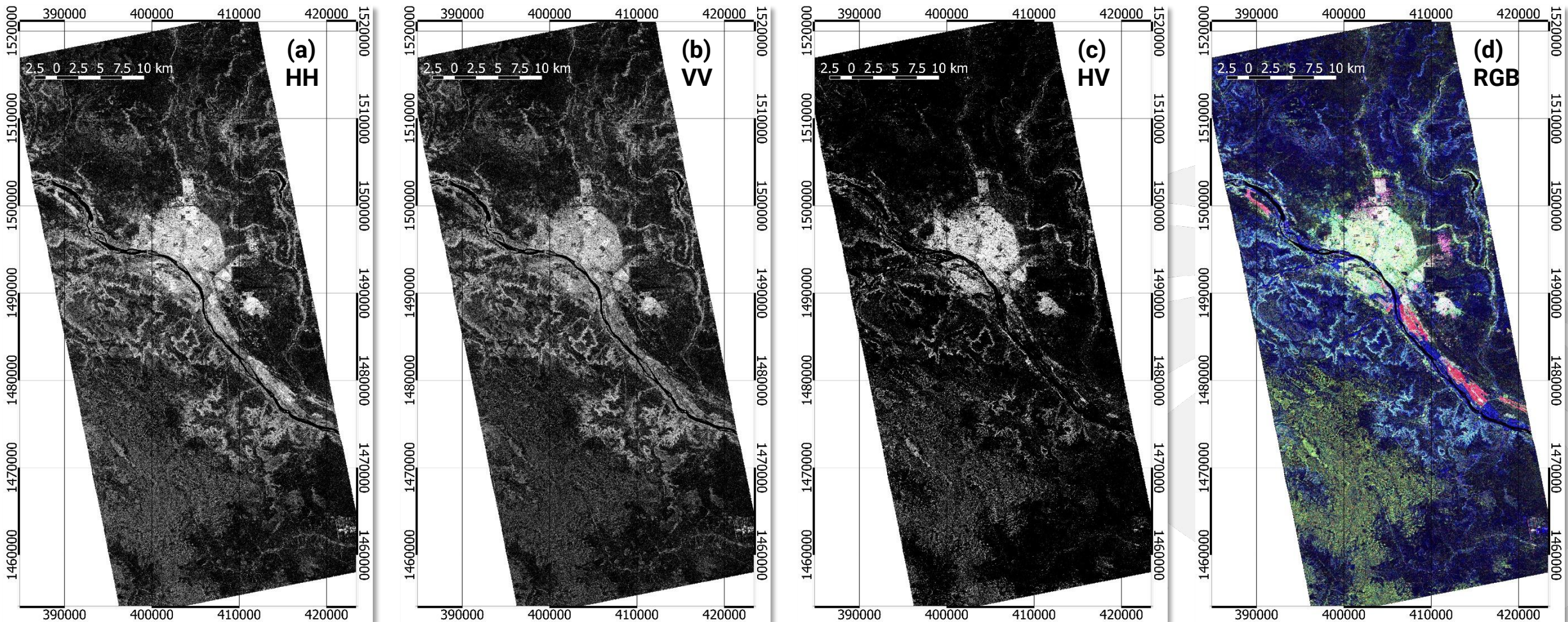
Dependencia polarimétrica de los principios de dispersión

Fuerza de dispersión relativa por polarización

- Dispersión de la superficie pura: $|S_{VV}| > |S_{HH}| > |S_{VH}|$ o $|S_{HV}|$
- Dispersión de doble rebote: $|S_{HH}| > |S_{VV}| > |S_{VH}|$ o $|S_{HV}|$
- Dispersión volumétrica: fuente principal de $|S_{VH}|$ y $|S_{HV}|$



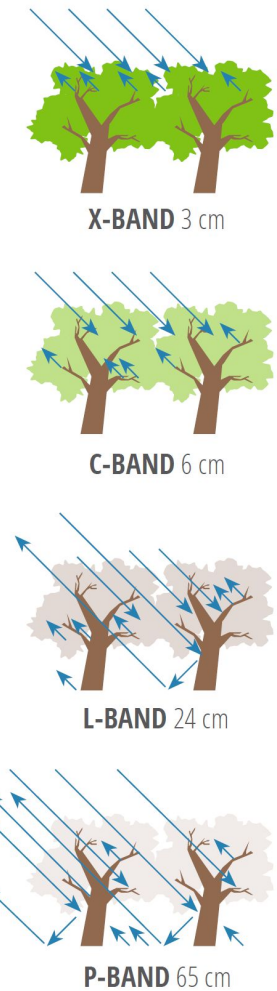
Ejemplo de dispersión polarimétrica para Niamey, Níger



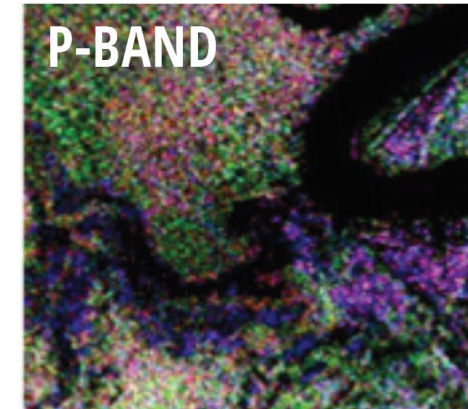
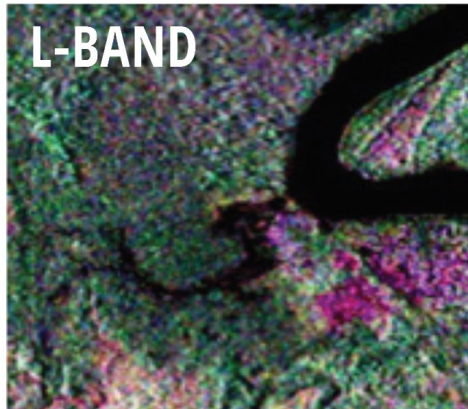
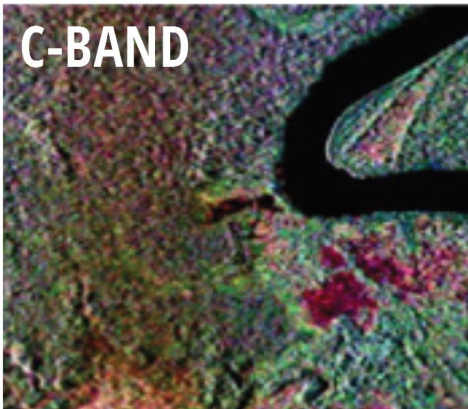
Escena SAR de banda L completamente polarimétrica del sensor ALOS PALSAR sobre Niamey, Níger: de (a) a (c) se muestra la fuerza de dispersión de $|S_{HH}|$, $|S_{VV}|$ y $|S_{HV}|$. (d) muestra la combinación RGB ($|S_{HH}|$, $|S_{HV}|$, $|S_{VV}|$)

Firmas SAR de Vegetación en Diversas Frecuencias y Polarizaciones

Aumento de la profundidad de penetración con la longitud de onda.



R: P-BAND, G: L-BAND, B: C-BAND

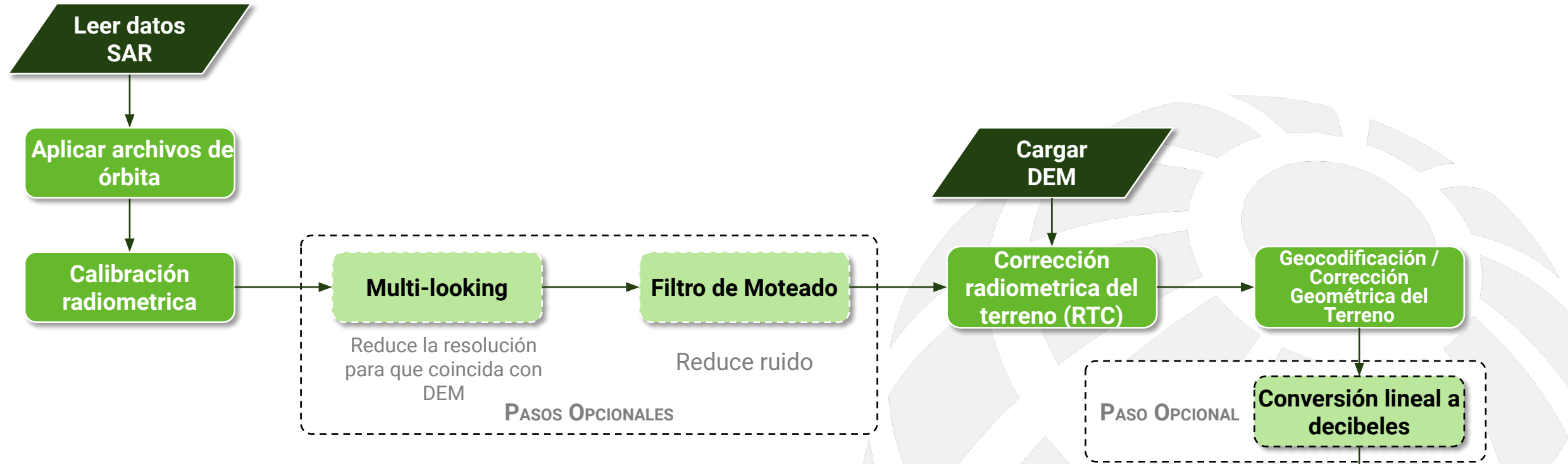


R: HH
G: HV
B: VV

El cambio de firma polarimétrica y las características de la cubierta inferior están expuestas a medida que aumenta la longitud de onda

Preparación de los datos, Procesamiento RTC y Producto Geocodificado

FLUJO DE TRABAJO DE CORRECCIÓN RADIOMÉTRICA DEL TERRENO Y GEOCODIFICACIÓN



Preparación de los datos, Procesamiento RTC y Producto Geocodificado

1. Aplicar archivos de órbita: actualiza los metadatos con información de órbita más precisa
2. Calibración radiométrica: cambia los número digitales para números de retrodispersión (σ^0)
3. Multi-looking: reduce la resolución para que coincida con el DEM y para reducir ruido
4. Filtro de Moteado: Reduce ruido
5. Corrección radiométrica del terreno (RTC): corrección de la intensidad de retrodispersión en pixels que fueron distorsionados por la geometría de observación (aplanamiento)
6. Geocodificación/Corrección geométrica del terreno (GTC): corrección de la posición de los pixels que fueron distorsionados por la geometría de observación

Manual SAR: Metodologías integrales para el monitoreo forestal y la estimación de biomasa

- ▷ eBook de libre acceso, pdfs interactivos, módulos de entrenamiento; resultado de una colaboración conjunta de 2+ años entre NASA SERVIR & SilvaCarbon
- ▷ Contenido aplicado, entrenamientos prácticos para comenzar a usar SAR para monitoreo forestal, estimación de biomasa, detección de mangle, análisis de series de tiempo
- ▷ Escrito por expertos en SAR de renombre mundial del equipo Científico de NISAR, Servicio Forestal de US, academia
- ▷ Revisado y probado por la red global de SERVIR
- ▷ Scripts de código abierto descargables y conjuntos de datos de muestra para una variedad de aplicaciones forestales; útil de principiantes a expertos

Descarga el Manual SAR aquí: <https://bit.ly/2UHZtaw>

Módulos de entrenamiento del Manual SAR y más: <https://bit.ly/2GeKvAN>

Para mayor información, visita el sitio website de SERVIR @ SERVIRglobal.net

Contacto: Africa Flores-Anderson (africa.flores@nasa.gov)



Páginas seleccionadas del Cap. 6:
Radar Remote Sensing of Mangrove Forests (by Dr. Marc Simard, Sr. Scientist & mangrove specialist, NASA Jet Propulsion Laboratory)



Making remote-sensing data accessible since 1981



University of Alaska Fairbanks



EARTH BIG DATA
Where Solutions Begin.



CILSS



RCMRD



ICIMOD



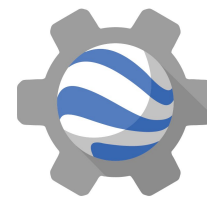
University of Massachusetts Amherst



Google Earth Engine



Google Earth Engine



- Una plataforma en línea de escala planetaria
- Para acceso, procesamiento y análisis **multitemporal** de datos satelitales de diversas fuentes
- Archivos completos como del Landsat ya están allá
- API en JavaScript o Python
- Compartimiento de scripts
- Carga de datos propios

The screenshot shows the Google Earth Engine interface. On the left, the 'Scripts' tab is selected, displaying a list of examples under 'Image' such as 'From Name', 'Where Operator', and 'Normalized Difference'. The central area shows a script titled 'Landsat - Phenology Model.js' with code for creating a linear model and predicting NDVI. The right side features a map of a coastal area with various land cover types and a time-series plot in the 'Console' tab showing NDVI values from April to October 2014.

```
// Set up the "design matrix" to input to the regression.
function createLinearModelInputs(img) {
  var tstamp = ee.Date(img.get('system:time_start'));
  var tdelta = tstamp.difference(start, 'year');
  // Build an image that will be used to fit the equation
  // c0 + c1*sin(2*pi*t) + c2*cos(2*pi*t) = NDVI
  var img_fitting = img.select()
    .addBands(1)
    .addBands(tdelta.multiply(2*Math.PI).sin())
    .addBands(tdelta.multiply(2*Math.PI).cos())
    .addBands(img.select('NDVI'))
    .toDouble();
  return img_fitting;
}

// Estimate NDVI according to the fitted model.
function predictNDVI(img){
  var tstamp = ee.Date(img.get('system:time_start'));
  var tdelta = tstamp.difference(start, 'year');
  // predicted NDVI = c0 + c1*sin(2*pi*t) + c2*cos(2*pi*t)
  var predicted = ee.Image(meanCoeff)
    .add(ee.Image(c1).multiply(tdelta.sin()))
    .add(ee.Image(c2).multiply(tdelta.cos()));
  return predicted;
}
```

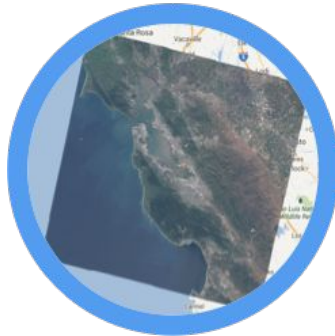
Fuente: Gorelick et al., 2017

Google Mission Statement

"To organize the world's information and make it universally accessible and useful."



Catálogo de Datos de Earth Engine



Landsat & Sentinel 1, 2

10-30m, semanalmente



MODIS

250m diariamente

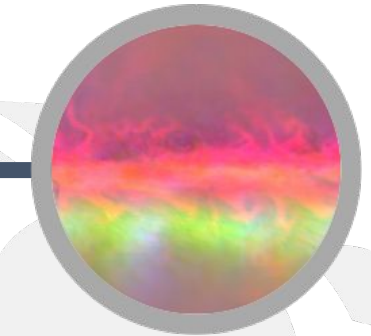


Datos Vectoriales

WDPA, Tiger



**Terreno &
Cobertura del Suelo**



Datos Climáticos

NOAA NCEP, OMI, ...

... y cargas sus propios datos vectoriales y rasters

> 200 datasets públicos

> 5 millones de imágenes

> 4000 nuevas imágenes diariamente

> 7 petabytes de datos

Earth Engine Editor de Código



code.earthengine.google.com

Datos Sentinel-1 en GEE



Datos Sentinel-1 en GEE



- Escala logarítmica en decibeles (dB)
 - $10 \times \log_{10}(\sigma^0)$
 - Coeficiente de retrodispersión σ^0
- Elegir solamente un tipo de geometría de observación (ascending o descending)
- Corrección/Aplanamiento radiométrico de terreno no es aplicado en GEE
 - Puede traer errores de geocodificación e de radiometría

The screenshot shows the GEE code editor at the top with a snippet titled "s1_l8_cloud_example". The code performs several steps: it imports a point of interest (pt), a Landsat 8 surface reflectance collection (l8), a Sentinel-1 SAR GRD collection (s1), and a polygon geometry. It then filters the Landsat collection by date and median filters the bands. It creates a mask from pixel quality flags and applies it to the Sentinel-1 data, setting the start time. Finally, it adds a median layer to the Sentinel-1 data. Below the code is a map view showing a river valley in a hilly region, with roads labeled 3N, 12A, 18, and 364. Towns like Bellavista, Juanuyl, Huicungo, Tocache, Uchiza District, Llata, Hualanca, Ambó, Yanahuanca, Poza, and Bolognesi are visible. The map has a green overlay representing the filtered area.

```
s1_l8_cloud_example *
Imports (4 entries) ▾
var pt: MultiPoint, 6 vertices ⓘ ⓘ
var l8: ImageCollection "USGS Landsat 8 Surface Reflectance Tier 1"
var s1: ImageCollection "Sentinel-1 SAR GRD: C-band Synthetic Aperture Radar Ground Range Detected, log scaling"
var geometry: Polygon, 4 vertices ⓘ ⓘ
Get Link Save Run Reset Apps
1 var comL8 = ee.ImageCollection(l8.filterDate('2019-01-01',Date.now()))
2   .filterBounds(pt);
3 Map.addLayer(comL8.median(),{bands:['B4','B3','B2'],min:0,max:2000},'Landsat median')
4 var comL8m = comL8.map(function(img){
5   var mask = img.select('pixel_qa').bitwiseAnd(3).or(img.select('pixel_qa').bitwiseAnd(5))
6   return img.updateMask(mask).set('system:time_start', img.get('system:time_start'))
7 })
8 Map.addLayer(comL8m.median(),{bands:['B4','B3','B2'],min:0,max:2000},'Landsat median')
9
10 var comS1 = s1.filterDate('2019-01-01','2019-01-07')
```

Ejemplos para Sentinel-1 en GEE



<http://bit.ly/SERVIRAmazoniaEE>

Script 1

Script 2

Script 3



Retroalimentación



[menti.com](https://www.menti.com)

161761





iGracias!

Fuente: ASF

Andrea Puzzi Nicolau

Investigadora Asociada

NASA SERVIR Science Coordination Office

Earth System Science Center

University of Alabama in Huntsville

andrea.puzzinicolau@nasa.gov

andrea.nicolau@uah.edu

 [@puzzinicolau](https://twitter.com/puzzinicolau)

